

الاتحاد الدولي للاتصالات

**ITU-R**

قطاع الاتصالات الراديوية في الاتحاد الدولي للاتصالات

**ITU-R P.1812-3**  
**(2013/09)**

طريقة تنبؤ بانتشار خاصة بمسير خدمات الأرض من نقطة-إلى-منطقة في نطاقات الموجات المترية (VHF) و الموجات الديسيمترية (UHF)

السلسلة P

انتشار الموجات الراديوية



الاتحاد الدولي للاتصالات

**150**  
1865 - 2015

## تمهيد

يسلط قطاع الاتصالات الراديوية دوراً يمثل في تأمين الترشيد والإنصاف والفعالية والاقتصاد في استعمال طيف الترددات الراديوية في جميع خدمات الاتصالات الراديوية، بما فيها الخدمات الساتلية، وإجراء دراسات دون تحديد لمدى الترددات، تكون أساساً لإعداد التوصيات واعتمادها.

ويؤدي قطاع الاتصالات الراديوية وظائفه التنظيمية والسياسية من خلال المؤتمرات العالمية والإقليمية للاتصالات الراديوية وجمعيات الاتصالات الراديوية بمساعدة لجان الدراسات.

## سياسة قطاع الاتصالات الراديوية بشأن حقوق الملكية الفكرية (IPR)

يرد وصف للسياسة التي يتبعها قطاع الاتصالات الراديوية فيما يتعلق بحقوق الملكية الفكرية في سياسة البراءات المشتركة بين قطاع تقدير الاتصالات وقطاع الاتصالات الراديوية والمنظمة الدولية للتوكيد التقني والمتحدة الكهربائية الدولية (ITU-T/ITU-R/ISO/IEC) والمشار إليها في الملحق 1 بالقرار 1 ITU-R. وترتدي الاستثمارات التي ينبغي لحاملي البراءات استعمالها لتقديم بيان عن البراءات أو للتصریح عن منح رخص في الموقع الإلكتروني <http://www.itu.int/ITU-R/go/patents/en> حيث يمكن أيضاً الإطلاع على المبادئ التوجيهية الخاصة بتطبيق سياسة البراءات المشتركة وعلى قاعدة بيانات قطاع الاتصالات الراديوية التي تتضمن معلومات عن البراءات.

### سلال توقيعات قطاع الاتصالات الراديوية

(يمكن الإطلاع عليها أيضاً في الموقع الإلكتروني <http://www.itu.int/publ/R-REC/en>)

العنوان	السلسلة
البث الساتلي	BO
التسجيل من أجل الإنتاج والأرشفة والعرض؛ الأفلام التلفزيونية	BR
الخدمة الإذاعية (الصوتية)	BS
الخدمة الإذاعية (التلفزيونية)	BT
الخدمة الثابتة	F
الخدمة المتنقلة وخدمة الاستدلال الراديوية وخدمة الهواة والخدمات الساتلية ذات الصلة	M
<b>انتشار الموجات الراديوية</b>	
علم الفلك الراديوسي	RA
أنظمة الاستشعار عن بعد	RS
الخدمة الثابتة الساتلية	S
التطبيقات الفضائية والأرصاد الجوية	SA
تقاسم الترددات والتنسيق بين أنظمة الخدمة الثابتة الساتلية والخدمة الثابتة	SF
إدارة الطيف	SM
التجمیع الساتلي للأخبار	SNG
إرسالات الترددات المعيارية وإشارات التوقيت	TF
المفردات والمواضيع ذات الصلة	V

**ملاحظة:** تمت الموافقة على النسخة الإنكليزية لهذه التوصية الصادرة عن قطاع الاتصالات الراديوية بموجب الإجراء الموضح في القرار .ITU-R 1

النشر الإلكتروني  
جنيف، 2015

## التوصية 3-1812-R ITU-R

## طريقة تنبؤ بانتشار خاصة بسير خدمات الأرض من نقطة-إلى-منطقة في نطاقات الموجات المترية (VHF) والموجات الديسيمترية (UHF)

(المسألة 203/3 ITU-R)

(2007-2009-2012-2013)

### مجال التطبيق

تصف هذه التوصية طريقة تنبؤ بانتشار تتناسب خدمات الأرض من نقطة-إلى-منطقة في المدى الترددية من 30 MHz إلى 3 GHz . وهي تنبأ بمستويات الإشارة المتتجاوزة خلال نسبة مئوية معينة من الوقت  $p$  % ضمن المدى ( $1\% \leq p \leq 50\%$ )، وفي نسبة مئوية معينة من الواقع  $p_L$  ، ضمن المدى ( $1\% \leq p_L \leq 99\%$ )، وذلك في متوسط توزيع المسيرات المتعددة. وتقدم هذه الطريقة تحليلاً مفصلاً يقوم على المظهر الجانبي لتضاريس الأرض.

وتناسب هذه الطريقة التنبؤات في أنظمة الاتصالات الراديوية التي تستخدم دارات أرضية تتراوح أطوال مسيراتها بين km 0,25 ونحو 3 000 مسافةً، مع كون كلا المطறين على ارتفاع يقرب من 3 km فوق الأرض. ولا تلائم هذه الطريقة تنبؤات الانتشار على دارات راديوية جو-أرض أو فضاء-أرض.

هذا وتتم هذه التوصية التوصية 1546 ITU-R .

إن جمعية الاتصالات الراديوية للاتحاد الدولي للاتصالات،

إذ تضع في اعتبارها

أ) أن من الضروري تقديم إرشادات إلى المهندسين المكلفين بتخطيط خدمات الاتصالات الراديوية للأرض في نطاقات الموجات المترية (VHF) والديسيمترية (UHF)؛

ب) أن من الأهمية يمكن تحديد مسافة جغرافية دنيا تفصل بين المطارات التي تعمل على نفس قنوات التردد أو على قنوات متقاربة لتفادي التداخلات غير المقبولة من جراء الانتشار الأرضي على مسافة طويلة،

وإذ تلاحظ

أ) أن التوصية P.528 ITU-R تقدم إرشادات بشأن التنبؤ بخسارة الإرسال في المسير من نقطة-إلى-منطقة فيما يتعلق بالخدمة المتنقلة للطيران في مدى الترددات من 125 MHz إلى 30 GHz والمسافات التي تصل إلى 1 800 km؛

ب) أن التوصية P.452 ITU-R تقدم إرشادات بشأن التقييم المفصل للتداخلات الصغرية بين المطارات المقامة على سطح الأرض عند ترددات تزيد عن 0,7 GHz تقريباً؛

ج) أن التوصية P.617 ITU-R تقدم إرشادات بشأن التنبؤ بخسارة الإرسال في المسير من نقطة-إلى-نقطة (P-P) بالنسبة إلى أنظمة المراحلات الراديوية عبر الأفق فيما يتعلق بمدى الترددات الذي يزيد عن 30 MHz، وبالنسبة إلى مدى المسافات من 100 إلى 1 000 km؛

د) أن التوصية P.1411 ITU-R تقدم إرشادات بشأن التنبؤ بالانتشار فيما يتعلق بخدمات الاتصالات الراديوية خارج المباني ذات المدى القصير (إلى حد 1 km)؛

- هـ) أن التوصية P.530 ITU-R تقدم إرشادات بشأن التنبؤ بخسارة الإرسال في المسير من نقطة إلى نقطة فيما يتعلق بأنظمة خط البصر (LoS) الأرضية؛
- و) أن التوصية P.1546 ITU-R تقدم إرشادات بشأن التنبؤ من نقطة إلى منطقة بقيم شدة المجال في نطاقات الموجات المترية (VHF) والديسيمترية (UHF) بالاستناد في المقام الأول إلى تحاليل إحصائية للبيانات التجريبية؛
- ز) أن التوصية P.2001 ITU-R توفر نموذج انتشار للأرض واسع المدى من أجل مدى الترددات من 30 MHz إلى 50 GHz بما في ذلك إحصاءات الخبو والتعزيز التي درست جيداً من أجل استعمالها في عمليات محاكاة موئل كارلو،

### توصي

باستعمال الإجراء الوارد في الملحق 1 من أجل التقييم المفصل لمستويات الإشارة من نقطة إلى منطقة فيما يتعلق بهذه الخدمات.

ملاحظة - قد تحدث أيضاً مسارات انتشار طويلة المدى في النطاق VHF عبر طبقة الأيونوسفير. ويرد تلخيص لهذه الأساليب في التوصية ITU-R P.844.

## الملاحق 1

### مقدمة 1

يوصى باستخدام طريقة التنبؤ بالانتشار الموصوفة في هذا الملحق من أجل التقييم المفصل لمستويات الإشارة المناسبة للاستعمال فيما يتعلق بخدمات الأرض من نقطة إلى منطقة في نطاقات الموجات المترية (VHF) والديسيمترية (UHF). وتتبناً هذه الطريقة بمستوى الإشارة (أي شدة المجال الكهربائي) المتتجاوز خلال نسبة مئوية معينة من الوقت  $p$  لسنة متوسطة ضمن المدى ( $p \leq 50\%$ )، وفي نسبة مئوية معينة من الموقع،  $p_L$ ، ضمن المدى ( $p_L \leq 1\%$ ). ومن ثم يمكن استعمال هذه الطريقة للتنبؤ بمنطقة الخدمة وتيسيرها على حد سواء لمستوى إشارة (التغطية) مرغوب (مرغوبة)، وبالانخفاضات في منطقة الخدمة هذه وتيسيرها بفعل الإشارات (التدخل) في نفس القناة أو في القناة المجاورة.

ونموذج انتشار هذه الطريقة تناضري. يمعن أنه يعامل كلا المطраفين الراديويين على قدم المساواة. فمن منظور النموذج، لا يهم أي من المطرافين هو المرسل وأيهما هو المستقبل. لكن تسهيلاً لوصف النموذج، يُستعمل مصطلحاً "المرسل" و"المستقبل" للدلالة على المطرافين عند بدء ونهاية المسير الراديوي على التوالي.

توصف الطريقة، بدايةً، من خلال حساب خسارة الإرسال الأساسية (dB) التي لا يتم تجاوزها خلال وقت  $p$  بالنسبة إلى قيمة متوسطة للموقع. ثم تحدد خصائص خسارة تغير الموقع والدخول إلى المبنى إحصائياً بالنسبة لموقع المستقبل. بعدها، يتم القيام بإجراء التحويل إلى شدة مجال كهربائي بالوحدة (dB) ( $\mu\text{V/m}$ ) بالنسبة إلى قدرة فعالة قدرها  $1\text{ kW}$ .

وهذه الطريقة معدّة، بالدرجة الأولى، من أجل الاستعمال مع أنظمة تستعمل هوائيات ذات كسب منخفض. ييد أن التغيير في الدقة عند استعمال هوائيات ذات كسب عال لا يؤثر إلا في عنصر الانتشار التروبوسفيري من محمل الطريقة، ويكون التغيير في التنبؤات طفيفاً. فمثلاً، حتى في حالة هوائيين كسبهما  $40\text{ dBi}$  على طرف الوصلة، لا يزيد التقدير المفرط لإشارات الانتشار التروبوسفيري عن  $1\text{ dB}$ .

وتناسب هذه الطريقة التنبؤات في أنظمة الاتصالات الراديوية التي تستخدم دارات أرضية تتراوح أطوال مسيراتها بين  $0,25\text{ km}$  ونحو  $3\,000\text{ km}$  مسافةً، على أن يكون كلا المطرافين على ارتفاع يقرب من  $3\text{ km}$  فوق الأرض. ولا تلائم هذه الطريقة تنبؤات الانتشار على دارات راديوية جو-أرض أو فضاء-أرض.

وهي طريقة التنبؤ بالانتشار الواردة في هذا الملحق هي طريقة خاصة بمسير محمد. وتتألف التنبؤات من نقطة إلى منطقة التي تستعمل هذه الطريقة من سلسلة من تنبؤات من نقطة إلى نقطة (أي من نقطة مرسل إلى نقاط مستقبل متعددة) موزعة بانتظام عبر مناطق خدمة افتراضية. وينبغي أن يكون عدد النقاط كبيراً بما يكفي لضمان أن تكون القيم المتوقعة لخسارة الإرسال الأساسية أو قيم شدة المجال المتحصل عليها عبارة عن تقديرات معقولة للقيم المتوسطة، بالنسبة للموقع، للمقادير المقابلة لمناطق الأساسية التي تمثلها.

وعليه، تفترض قدرة مستعملٍ هذه التوصية على توصيف المظاهر الجانبيّة المفصّلة لتضاريس الأرض (أي الارتفاعات فوق متوسط مستوى البحر) كدوال في المسافة على امتداد مسارات الدائرة العظمى (أي المنحنيات الجيوديسية) بين الأجهزة المطرافيّة، بالنسبة للعديد من مواقع هذه الأجهزة ( نقاط المستقبل) المختلفة. وبالنسبة ل معظم التطبيقات العملية لهذه الطريقة على التغطية من نقطة إلى منطقة وعلى تنبؤات التداخل، يقتضي هذا الافتراض وجود قاعدة بيانات رقمية لارتفاع تضاريس الأرض مرجعها إلى إحداثيات العرض والطول بالنسبة لبيان جيوديسي متsequ يمكن استخراج المظاهر الجانبيّة لتضاريس الأرض منه بوسائل آلية. وفي حال عدم تيسير هذه المظاهر الجانبيّة المفصّلة لتضاريس الأرض، ينبغي الرجوع إلى التوصية ITU-R P.1546 بدلاً من هذه التوصية من أجل الحصول على هذه التنبؤات.

وبالنظر لما تقدم، يتم تحديد خصائص عناصر خسارة التغيير في الموقع والدخول إلى المباني لهذه التوصية عبر إحصائيات التوزيعات اللوغاريتمية العادية بالنسبة لموقع المستقبل. وعلى الرغم من أن عملية التحديد الإحصائي للخصائص هذه للالانتشار من نقطة إلى منطقة قد ينبع عنها مشكلة وهي أن النموذج الإجمالي يكون لا تمازرياً (أي غير تبادلي)، ينبغي على مستعملٍ هذه التوصية أن يلحظوا أن التغيير في الموقع يمكن تطبيقه، من حيث المبدأ، على أي من طرف المسير (معنى أي من المطرافين)، أو حتى على كليهما (أي على المرسل والممستقبل معاً). بيد أنه لا يوجد ما يدعو لتصحيح التغيير في الموقع إلا في الحالات التي يُجهل فيها الموقع الدقيق لمطراف معين ويلزم تمثيل إحصائي للموقع المحتملة لذاك المطراف. ولا يرجح حدوث حالات عديدة يُطبق فيها ذلك على موقع المرسل على نحو ذي مغزى. أما إذا علم موقعاً هذين المطرافين بدقة، واستعمل هذا الإجراء بأسلوب من نقطة إلى نقطة، فلا تُطبّق هذه التوصية إلا بقيمة ( $p_L = 50\%$ ).

ويشير الأمر نفسه بالنسبة لخسارة الدخول إلى المباني. غير أن الأمر يكون أكثر تعقيداً بقليل مما عليه الحال بالنسبة للتغير في الموقع نظراً لأن متوسط تصحيح خسارة الدخول ليس صفرًا. ففي طرف المرسل، يتعين على المستعملين إضافة خسارة الدخول إلى المباني إلى خسارة الإرسال الأساسية إذا كان المرسل داخل مبني. غير أنه يجب على المستعملين أن يتبعوا إلى أن قيم الخسارة المتوسطة الواردة في الجدول 7 قد تكون مضليلة إذا لم يقع المرسل في موقع "متوسط".

عناصر النموذج لطريقة التنبؤ بالانتشار 2

تأخذ طريقة التنفس بالانتشار، هذه عناصر النموذج التالية في الحسان:

- خط البصر (LoS)
  - الانعراج (الذي يلتف حول الأرض الملساء والتضاريس الأرضية غير المنتظمة وحالات المسير الفرعية)
  - الانتشار التروبوسفيري
  - الانتشار غير المنتظم (الانتشار التروبوسفيري الموجه والانعكاس والانكسار على الطبقات)
  - تغيير كسب الارتفاع في الجلبة
  - التغيير في الموقع
  - خسارة الدخول إلى المباني.

### 3 معلمات الدخل

#### 1.3 بيانات الدخل الأساسية

يصف الجدول 1 بيانات الدخل الأساسية التي تعرّف المطارات الراديوية والتردد والنسبة المئوية من الوقت والموقع التي تستلزم تنبؤاً بشأنها.

يتم إدراج خطى العرض والطول للمحطتين كمدخلين أساسيين من منطلق أنهما لازمان للحصول على المظهر الجانبي لمسيير. ويتبعن الحصول على معلمات الأرصاد الجوية الراديوية لموقع واحد مصاحب للمسيير الراديوي، فيما ينبغي انتقاء مركز المسير بالنسبة لمسير طويل. ومن المناسب الحصول على معلمات الأرصاد الجوية الراديوية لموقع المرسل عند التنبؤ بمدطقة تعطیته.

الجدول 1

#### بيانات الدخل الأساسية

المعلمة	الوحدات	الحد الأدنى	الحد الأقصى	الوصف
$f$	GHz	0,03	3,0	التردد (GHz)
$p$	%	1,0	50,0	النسبة المئوية لسنة متوسطة التي يتم فيها تجاوز مستوى الإشارة المحسوبة
$p_L$	%	1	99	النسبة المئوية للموقع التي يتم فيها تجاوز مستوى الإشارة المحسوبة
$\varphi_t, \varphi_r$	درجات	80-	80+	خط عرض المرسل، المستقبل
$\psi_t, \psi_r$	درجات	180,0-	180,0	خط طول المرسل، المستقبل (موجب = شرق غرينتش)
$h_{lg}, h_{rg}$	m	1	3 000	ارتفاع مركز الهوائي فوق مستوى الأرض
الاستقطاب				استقطاب إشارة، رأسياً أم أفقياً مثلاً
$w_s$	m	1	100	عرض الشارع. ينبغي استخدام القيمة 27 ما لم تتوفر قيم محلية محددة.

الاستقطاب في الجدول 1 ليس معلمة لها قيمة عددية. وتعلق المعلمات المستعملة في الفقرة 3.3.4 بالمعادلات (29a) و(29b) و(30).

### 2.3 المظهر الجانبي لتضاريس الأرض

يلزم المظهر الجانبي لتضاريس الأرض للمسيير الراديوي من أجل تطبيق طريقة التنبؤ بالانتشار. وهو يتكون مبدئياً من ثلاثة مصفوفات لكل منها نفس عدد القيم  $n$ ، كما يلي:

- (1a)  $d_i$ : المسافة من المرسل لنقطة المظهر الجانبي ذات الترتيب  $i$  (km)
- (1b)  $h_i$ : ارتفاع فوق نقطة المظهر الجانبي ذات الترتيب  $i$  فوق مستوى البحر (m)
- (1c)  $g_i$ : ارتفاع الجبلة التمثيلي لنقطة المظهر الجانبي ذات الترتيب  $i$  (m)

حيث:

$$i : n \dots 1, 2, 3 \dots = \text{دليل نقطة المظهر الجانبي}$$

$n$ : عدد نقاط المظهر الجانبي.

يتعين وجود نقطة مظهر جانبي وسيطة واحدة على الأقل بين المرسل والمستقبل. وبالتالي يجب أن تتحقق  $n$  الشرط  $3 \leq n$ . وهذا العدد القليل من النقاط لا يناسب إلا المسيرات القصيرة الأقصر من 1 km.

لاحظ أن نقطة المظهر الجانبي الأولى تكون عند المرسل. إذاً  $d_1$  تساوي صفرًا و  $h_1$  هو ارتفاع الأرض عند المرسل بالأمتار فوق مستوى البحر. وبالمثل تكون نقطة المظهر الجانبي  $n$  عند المستقبل. وعلى ذلك تكون  $d_n$  هي طول المسير بالكميلومتر و  $h_n$  هو ارتفاع الأرض عند المستقبل فوق مستوى سطح البحر بالأمتار.

لا تعطى أي مسافة محددة بين نقاط المظهر الجانبي. وبافتراض أن المظاهر الجانبية تُستخرج من نموذج ارتفاع التضاريس الرقمي، فإن التباعد المناسب سيتشابه نمطياً مع تباعد النقاط في بيانات المصدر. وليس مطلوباً تساوي تباعد نقاط المظهر الجانبي، ولكن من المستحسن أن تماثل هذه النقاط في تباعدها المظهر الجانبي كلّه.

ويستحسن توفر معلومات عن الغطاء الأرضي (الجلبة) على طول المسير. ومن الملائم تخزين فئات الجلبة في صفيف إضافي من النقاط  $n$  لمطابقة بيانات ارتفاع المظهر الجانبي.

ويتعلق "ارتفاع الجلبة التمثيلي" المشار إليه في المعادلة (1c) بما يعطي الأرض كالنباتات والمباني. وإضافة ارتفاعات الجلبة إلى المظهر الجانبي تستند إلى افتراض أن الارتفاعات  $h$  مثل سطح الأرض الأجرد. وإذا كان المسير الراديوسي يمر فوق مناطق حراجية أو حضرية حيث يحدث انعراج أو انسداد في مسيرات فرعية، يزداد الارتفاع الفعلي للمظهر الجانبي لأن الإشارات الراديوية ستغير فوق الجلبة. وبالتالي يمكن الحصول على تمثيل أكثر دقة من للمظهر الجانبي عن طريق إضافة ارتفاعات لاحتساب الجلبة.

ولا تكون الإضافة المناسبة مادية بالضرورة، مثل ارتفاعات الأسطح في حالة المباني. وحيث توجد فجوات بين كائنات الجلبة، كما تراها موجة راديوية، يمكن لبعض الطاقة أن تعبّر من خلالها بدلاً من فوقها. وفي هذه الحالة يتوقع للجلبة أن تزيد من الخسارة جراء الانعراج، ولكن ليس بنسبة تصل إلى رفع المظهر الجانبي إلى ارتفاع الجلبة الفزيائية.

وهذا ينطبق بشكل خاص على المناطق الحضرية ذات المباني الشاهقة. وتتمثل فئات المناطق مثل "الحضرية الكثيفة" أو "المناطق الحضرية ذات المباني الشاهقة" لأن تكون مرتبطة بارتفاعات مباني يوّاقع 30 متراً أو أكثر. ولكن تتخلل بعض مناطق المباني الشاهقة فسح واسعة فيما بينها، ويمكن أن تتسع لمسيرات منخفضة الخسارة تمر خلالها بدلاً من فوق الأسطح.

وعلى الطرف الآخر، حتى في المناطق التي تصنف على أنها "مفتوحة" أو "ريفية" فمن غير المألوف أن تكون الأرض جرداء تماماً، أي خالية من أي شيء يمكن أن يضيف إلى خسائر الانتشار. وبالتالي، فإن إسناد قيم صغيرة لارتفاع الجلبة التمثيلي  $R$ ، بدلاً من الصفر، قد يكون مناسباً في كثير من الحالات.

وهناك استفادة منفصلة من المعلومات لتقدير خسائر جلبة مطراف، على النحو الموضح في الفقرة 7.4. فيحتفظ بمفهوم ارتفاع الجلبة التمثيلي  $R$ ، ولكن يؤوّل بشكل مختلف. فالهدف هو تحديد الارتفاع الذي يجب على الإشارة أن تنتشر عليه لمطراف يقع تحت ارتفاع الجلبة، ولا سيما بالنسبة للفئات الحضرية. وينبغي في مثل هذه الحالات مرة أخرى تقدير إلى أي مدى، على أساس إحصائي، تلتف الإشارة حول الأشياء المسببة للجلبة بدلاً من المرور فوقها. وفي حالة فئات المناطق الريفية والمياه المفتوحة، يكون ارتفاع الجلبة التمثيلي  $R$ ، في الأساس عامل مقاييس للمعادلة (64b).

وبالتالي، فإن ارتفاع الجلبة التمثيلي  $R$ ، لا يتوقف فقط على الارتفاع المادي النمطي للأشياء المسببة للجلبة وإنما أيضاً على التباعد الأفقي لهذه الأشياء والفجوات بينها. وليس هناك معيار متعارف عليه بشأن ما تمثله فئة جلبة، "الحضرية" مثلاً، من الناحية المادية في مختلف البلدان. وينبغي استعمال معلومات ارتفاع الجلبة المحلية، متى توفرت، ويقترح الجدول 2 قيمتاً افتراضية لارتفاع الجلبة التمثيلي  $R$ ، يمكن استخدامها في حالة عدم وجود معلومات أكثر تحديداً مناسبة للمنطقة المعنية.

## الجدول 2

## المعلومات الافتراضية لنمذجة الخسارة الناجمة عن الجلبة

نوع خسارة الجلبة للمطراف	الارتفاع التمثيلي للجلبة (m)		نطج الجلبة
	خسائر جلبة المطراف الفقرة 7.4 وأضاف إلى معادلة المظهر الجانبي (1c) بالنسبة إلى $i = 1$ إلى $n$	أضاف إلى معادلة المظهر الجانبي (1c) بالنسبة إلى $i = 2$ إلى $n$	
(64b) المعادلة	10	0	مياه/بحر
(64b) المعادلة	10	0	منطقة ريفية/مفتوحة
(64a) المعادلة	10	10	ضواحي
(64a) المعادلة	15	15	حضرية/أشجار/غابة
(64a) المعادلة	20	20	حضرية كثيفة

## 3.3 المناطق المناخية الراديوية

يرد في الجدول 3 وصف معلومات لازمة بشأن ماهية أطوال المسيرات في المناطق المناخية الراديوية.

لتحقيق الاتساق الأقصى في النتائج بين الإدارات، ينبغي لحسابات هذا الإجراء أن تستند إلى الخارطة العالمية الرقمية للاتحاد الدولي للاتصالات (IDWM) المتيسرة من مكتب الاتصالات الراديوية (BR). فإذا كانت جميع النقاط على المسير على مسافة لا تقل عن 50 km من البحر أو المساحات الأخرى الكبيرة من الماء، لا تطبق إلا فئة المنطقة الداخلية البرية.

وإذا ما حُرنت معلومات المنطقة في نقاط متتالية على طول المسير الراديوي، ينبغي افتراض أن التغيرات تحدث في متصرف المسافة بين نقاط ذات شفرات منطقة مختلفة.

## الجدول 3

## المناطق المناخية الراديوية

التعريف	الشفرة	نطج المنطقة
الأراضي الساحلية أو المناطق الشاطئية، أي الأرضي المجاورة للبحر حتى ارتفاع 100 m بالنسبة إلى متوسط مستوى البحر أو الماء، لكنها محددة بمسافة 50 km من أقرب منطقة بحرية، ويمكن استعمال قيمة تقريرية إذا لم تتوفر بيانات دقيقة تتعلق بالارتفاع البالغ 100 m	A1	ساحلية
كل الأرضي غير المناطق الساحلية والشواطئ المعروفة "بالأراضي الساحلية" أعلاه	A2	داخلية برية
البحار والمحيطات والمساحات الأخرى الكبيرة من الماء (أي التي تغطي دائرة قطرها 100 km، على الأقل).	B	بحرية

## 4.3 مسافات المطراف من الساحل

أما إذا كان المسير عابراً للمنطقة B، فلتلزم معلمتان إضافيتان ( $d_{ct}$ ,  $d_{cr}$ )، تعطيان مسافة المرسل والمستقبل من الساحل (km)، على التوالي، باتجاه المطراف الآخر. وتكون هذه المسافة صفرًا إذا كان المطراف على ظهر سفينة أو منصة بحرية.

### 5.3 معلمات الأرصاد الجوية الراديوية الأساسية

يتطلب إجراء التنبؤ معلمتين من الأرصاد الجوية الراديوية لوصف قابلية التغير في الانكسارية الجوية.

-  $\Delta N$  (وحدات-N/km)، هو متوسط معدل التفاوت لدليل الانكسار الراديوي في الكيلومتر الأدنى من الجو الذي يوفر البيانات التي يمكن استناداً إليها حساب نصف قطر الأرض الفعال المناسب لتحليل المظهر الجانبي للمسير والانعراج بالعوائق. ويلاحظ أن  $\Delta N$  في هذا الإجراء تكون كمية موجبة.

-  $N_0$  (وحدات-N)، هي الانكسارية على مستوى سطح البحر وستعمل فقط في نموذج الانتشار التروبوسفيري كمقاييس للتغير في آليات الانتشار التروبوسفيري.

إذا لم تتوفر قياسات محلية، يمكن الحصول على هذه المقادير من الخرائط الموجودة في النواتج الرقمية التكميلية المقدمة مع هذه التوصية. وتعد الخرائط في الملفين DN50.txt وN050.txt، على التوالي. وترتدي البيانات من 0° إلى 360° في خط الطول ومن +90° إلى -90° في خط العرض، باستثناء 1,5° في الخطيدين. وستعمل البيانات بالاقتران مع ملفي البيانات المصاحبة LAT وLON، اللذين يتضمنان خطوط العرض وخطوط الطول، على التوالي، لل نقاط المناظرة (النقاط الشبكية) في الملفين DN50.txt وN050.txt. وبالنسبة إلى أي موقع مختلف عن النقاط الشبكية، يمكن اشتقاء المعلمة عند الموقع المطلوب بإجراء استكمال داخلي ثنائي الخطية على القيم عند أقرب أربع نقاط شبكية، كما هو موضح في التوصية ITU-R P.1144.

#### الجدول 4

#### نواتج رقمية تكميلية

خط الطول			خط العرض			المنشأ	اسم الملف
المباعدة (بالدرجات)	إلى (بالدرجات)	إلى (بالدرجات)	المباعدة (بالدرجات)	إلى (بالدرجات)	من (بالدرجات)		
1,5	360	0	1,5	90-	90	P.453	DN50.txt
1,5	360	0	1,5	90-	90	P.453	N050.txt
1,5	360	0	1,5	90-	90	P.453	LAT.txt
1,5	360	0	1,5	90-	90	P.453	LON.txt

اشتقت هذه الخرائط الرقمية من تحليل لجموعة بيانات عالمية لجموعات سابقة من المسارات الراديوية لمدة عشر سنوات (1992-1983).

ترتدي هذه الخرائط الرقمية في الملف المضغوط [R-REC-P.1812-3-201309-I!!ZIP-E](#).

### 6.3 حالة الانتشار التروبوسفيري الموجه

يتم تحديد الكمي للدرجة التي تتغزز إليها مستويات الإشارة بفعل الانتشار غير المنتظم، لا سيما الانتشار التروبوسفيري الموجه، بالمعلمة  $\beta_0$  (%)، وهي النسبة المئوية من الوقت التي يتوقع في أثنائها وفي المائة متر الأولى من الطبقة المنخفضة من الجو، أن تتجاوز معدلات التفاوت لدليل الانكسار 100 N-وحدات/km. وتحسب قيمة  $\beta_0$  كما يلي.

احسب المعلمة  $\mu_1$ ، التي تعتمد على الدرجة التي يعبر فيها المسير الأرض (في الداخلي أو على الساحل) والمياه:

$$(2) \quad \mu_1 = \left( 10^{\frac{-d_{tm}}{16-6\tau}} + 10^{-5(0,496+0,354\tau)} \right)^{0,2}$$

حيث يحد قيمة  $\mu_1$  المتباعدة ( $1 \leq \mu_1$ )

$$(3) \quad \tau = 1 - \exp(-0,000412d_{lm}^{2,41})$$

$d_{lm}$ : أطول جزء بري مستمر (في الداخل وعلى الساحل) من مسیر الدائرة العظمى (km)

$d_{lm}$ : أطول جزء بري مستمر داخل الأرضي من مسیر الدائرة العظمى (km).

ويعرّف الحدود 3 المناطق المناخية الراديوية التي يجب استعمالها للحصول على  $d_{lm}$  و  $d_{tm}$ . فإن كانت جميع النقاط على المسیر على مسافة لا تقل عن 50 km من البحر أو المساحات الأخرى الكبيرة من الماء، لا تُطبق إلا فئة المنطقة الداخلية البرية وبالتالي فإن  $d_{lm}$  يساويان طول المسیر،  $d$ .

احسب المعلمة  $\mu_4$ ، التي تعتمد على  $\varphi$  وخط العرض لمركز المسیر بالدرجات:

$$(4) \quad \begin{aligned} \mu_4 &= \mu_1^{(-0,935 + 0,0176\varphi)} && \text{for } |\varphi| \leq 70^\circ \\ \mu_4 &= \mu_1^{0,3} && \text{for } |\varphi| > 70^\circ \end{aligned}$$

حيث:

$\varphi$ : خط عرض منتصف المسیر (درجات).

احسب  $\beta_0$ :

$$(5) \quad \beta_0 = \begin{cases} 10^{-0,015|\varphi| + 1,67} \mu_1 \mu_4 & \% \quad \text{for } |\varphi| \leq 70^\circ \\ 4,17 \mu_1 \mu_4 & \% \quad \text{for } |\varphi| > 70^\circ \end{cases}$$

### 7.3 نصف قطر الأرض الفعال

يحدد عامل نصف قطر الأرض الفعال المتوسط  $k_{50}$  للمسیر بواسطة المعادلة التالية:

$$(6) \quad k_{50} = \frac{157}{157 - \Delta N}$$

يمكن الحصول على قيمة متوسط معدل التفاوت لقابلية في الانكسارية الراديوية،  $\Delta N$ ، من الخريطة الرقمية التكميلية DN50.txt باستخدام خطى العرض والطول لمركز المسیر كممثل للمسیر برمهة.

ويمكن أن تحدد القيمة المتوسطة لنصف قطر الأرض الفعال  $a_e$  بواسطة المعادلة التالية:

$$(7a) \quad a_e = 6371 k_{50} \quad \text{km}$$

بينما يحدد نصف قطر الأرض الفعال الذي يتم تجاوزه لمدة  $\beta_0$ ،  $a_\beta$ ، بواسطة المعادلة التالية:

$$(7b) \quad a_\beta = 6371 k_\beta \quad \text{km}$$

حيث  $k_\beta = 3,0$  هي قيمة تقديرية لعامل نصف قطر الأرض الفعال الذي يتم تجاوزه لمدة  $\beta_0$ .

ويحدد نصف قطر فعلي عام للأرض حيث  $a_e = a_p$  لمدة 50% من الوقت و  $a_\beta = a_p$  لمدة  $\beta_0$ % من الوقت.

### 8.3 المعلمات التي يتم الحصول عليها من تحليل المظهر الجانبي للمسير

يجب الحصول على القيم الخاصة بعدد من المعلمات المتعلقة بالمسير والضرورية لإجراء الحسابات والواردة في الجدول 5 بواسطة تحليل أولي للمظهر الجانبي للمسير مبني على قيمة  $a$  التي يتم الحصول عليها من المعادلة (7a). ويقدم المرفق 1 من هذا الملحق معلومات حول اشتقاء المظهر الجانبي للمسير وبنائه وتحليله.

### 4 إجراء التنبؤ

#### 1.4 نظرية عامة

تناول هذه الفقرة بالوصف إجراء التنبؤ بكامله. أولاً، تُقيّم خسارة الإرسال الأساسية،  $L_b$  (dB)، التي لا يتم تجاوزها أثناء النسبة المئوية السنوية من الوقت المطلوب،  $p\%$ ، وفي 50% من الواقع حسب الوصف في الفقرات 6.4-2.4 (أي خسائر الإرسال الأساسية الناجمة عن الانتشار في خط البصر (LoS) والانتشار بالانعراج والانتشار بالانتشار التروبوسفيري والانتشار التروبوسفيري الموجه والانعكاس على الطبقات وتحميم الآليات الانتشار هذه للتنبؤ بخسارة الإرسال الأساسية، على التوالي). أما في الفقرات 10.4-7.4، فيزيد وصف لطائق تأثيرات جلبة المطراف، وتأثيرات التغيير في الموقع وخسارة الدخول إلى المبني. وفي النهاية تقدم الفقرة 11.4 صياغاً تعزو خسارة الإرسال الأساسية إلى شدة المجال ( $\mu V/m$ ) (dB) بالنسبة إلى 1 kW من القدرة المشعة الفعالة.

### الجدول 5

#### قيم معلمات مستخلصة من تحليل المظهر الجانبي للمسير

المعلمة	الوصف
$d$	مسافة مسیر الدائرة العظمى (km)
$d_{lt}, d_{lr}$	المسافة بين هوائيي الإرسال والاستقبال والأفق المقابل لهما (km)
$\theta_t, \theta_r$	زاويا ارتفاع الأفق عند الإرسال والاستقبال (mrad)
$\theta$	المسافة الزاوية للمسير (mrad)
$h_{ls}, h_{rs}$	ارتفاع مركز الهوائي فوق المستوى المتوسط للبحر (m)
$h_{tc}, h_{rc}$	الحد الأقصى لقيم ( $h_{ls}, g_1$ ) و ( $h_{rs}, g_n$ ) على التوالي
$h_{te}, h_{re}$	الارتفاع الفعال للهوائي فوق الأرض (m)
$d_b$	الطول الإجمالي لأجزاء المسير فوق الماء (km)
$\omega$	جزء المسير الكلي فوق الماء: $\omega = d_b/d$ حيث $d$ هي مسافة الدائرة العظمى (km) المحسوبة باستخدام المعادلة (73). بالنسبة للمسيرات البرية بكاملها: $\omega = 0$ .

### 2.4 الانتشار في خط البصر (ما في ذلك التأثيرات قصيرة الأجل)

ينبغي تقييم كل ما يلي بالنسبة إلى مسيرات خط البصر والمسيرات عبر الأفق.

تُحدد خسارة الإرسال الأساسية الناجمة عن الانتشار في الفضاء الحر بالمعادلة:

$$(8) \quad L_{bfs} = 92,45 + 20 \log f + 20 \log d \quad \text{dB}$$

وتعطى تصحيحات تأثيرات المسيرات المتعددة والتركيز في النسبتين المئويتين للوقت  $p$  و $\beta_0$ ، على التوالي، بالمعادلين:

$$(9a) \quad E_{sp} = 2,6 \left[ 1 - \exp \left( -\frac{d_{lt} + d_{lr}}{10} \right) \right] \log \left( \frac{p}{50} \right) \text{ dB}$$

$$(9b) \quad E_{s\beta} = 2,6 \left[ 1 - \exp \left( -\frac{d_{lt} + d_{lr}}{10} \right) \right] \log \left( \frac{\beta_0}{50} \right) \text{ dB}$$

احسب خسارة الإرسال الأساسية التي لا يتم تجاوزها أشلاء النسبة المئوية  $p$  % من الوقت والتي تعود إلى الانتشار في خط البصر (بصرف النظر عما إذا كان المسير في خط البصر فعليًا أم لا)، والتي تعطى بالمعادلة التالية:

$$(10) \quad L_{b0p} = L_{bfs} + E_{sp} \text{ dB}$$

واحسب خسارة الإرسال الأساسية التي لا يتم تجاوزها أشلاء النسبة المئوية  $\beta_0$  % من الوقت والتي تعود إلى الانتشار في خط البصر (بصرف النظر عما إذا كان المسير في خط البصر فعليًا أم لا)، والتي تعطى بالمعادلة التالية:

$$(11) \quad L_{b0\beta} = L_{bfs} + E_{s\beta} \text{ dB}$$

### 3.4 الانتشار بالانعراج

تحسب خسارة الانعراج عن طريق الجمع بين طريقة تعتمد على بناء بولينغتون (Bullington) وانعراج الأرض الكروية. وجزء بولينغتون من هذه الطريقة هو توسيع لبناء بولينغتون الأساسي للسيطرة على الانتقال بين ظروف الفضاء الحر والظروف التي تتخللها العائق. ويستخدم هذا الجزء من الطريقة مرتين: للمظهر الجانبي الفعلي للمسير، وللمظهر الجانبي الأملس عدم الارتفاعات ذي ارتفاعات الهوائي المعدلة التي يشار إليها بارتفاعات الهوائي الفعالة. وتستخدم أيضًا ارتفاعات الهوائي الفعالة نفسها لحساب خسارة الانعراج في الأرض الكروية. ويتم الحصول على النتيجة النهائية بجمع ثلات خسائر تحسب على النحو الوارد أعلاه. وفي المسير الأملس تماماً، تكون خسارة الانعراج النهائية هي خرج نموذج الأرض الكروية.

وتقديم هذه الطريقة تقديرًا لخسارة الانعراج لجميع أنماط المسيرات سواء كانت عبر البحر أم البر أم عبر الأراضي الساحلية وسواء كان المسير أملساً أم وعراً وسواء كان على خط البصر أم عابراً للأفق.

تُستعمل طريقة الانعراج هذه عادة لمتوسط نصف قطر الأرض الفعال. وعند الحاجة إلى تنبؤ إجمالي بالنسبة إلى ( $p = 50\%$ )، تنتفي الحاجة إلى حساب آخر للانعراج.

وفي الحالة العامة عندما يكون ( $p < 50\%$ )، يجب إجراء حساب الانعراج كرّة ثانية لعامل نصف قطر الأرض الفعال المساوي 3. ويتوفر هذا الحساب الثاني تقديرًا لخسارة الانعراج التي لا يتم تجاوزها أشلاء النسبة المئوية  $\beta_0$  % من الوقت، حيث يتم الحصول على  $\beta_0$  بالمعادلة (5).

وبعد ذلك، تُحسب خسارة الانعراج التي لا يتم تجاوزها أشلاء النسبة المئوية  $p$  % من الوقت، بالنسبة إلى ( $p \leq 50\% \leq 1\%$ )، باستعمال عملية التحديد أو الاستكمال الداخلي الموضحة في الفقرة 5.3.4.

وتلخص الطريقة أعلاه لعملية تقرير خسارة انعراج حد سكين واحدة كدالة لعلمة دون أبعاد،  $v$ ، وتعطى كما يلي:

$$(12) \quad J(v) = 6,9 + 20 \log \left( \sqrt{(v - 0,1)^2 + 1} + v - 0,1 \right)$$

يلاحظ أن ( $J \approx 0,78$ )، وهذا يُعرف الحد الأقل الذي ينبغي استعمال هذا التقرير عنه. هذا وتُضبط ( $J(v)$  بقيمة الصفر لكل ( $v \leq -0,78$ )).

ويوضح حساب الانعراج الكلي في الفقرات الفرعية على النحو التالي:

تصف الفقرة 1.3.4 جزء بولينغتون من طريقة الانعراج. وهو يستخدم مرتين لكل حساب انعراج من أجل قيمة فعالة معينة لنصف قطر الأرض. وفي المرة الثانية يتم تعديل ارتفاعات الهوائي وتصرف جميع ارتفاعات المظهر الجانبي.

وتصف الفقرة 2.3.4 جزء الأرض الكروية من نموذج الانعراج. وهو يستخدم مع ارتفاعات الهوائي نفسها المستخدمة في المرة الثانية من جزء بولينغتون في الفقرة 1.3.4.

وتصف الفقرة 3.3.4 كيف تستخدم الطريقتين المذكورتين في الفقرتين 1.3.4 و 2.3.4 معاً لإجراء العملية الحسابية الكاملة للانعراج من أجل قيمة فعالة معينة لنصف قطر الأرض. ونظراً للطريقة التي يستخدم فيها جزء بولينغتون والأرض الكروية، بات الحساب الكامل يُعرف بنموذج "دلتا بولينغتون".

وتصف الفقرة 4.3.4 الحساب الكامل لخسارة الانعراج غير المتجاوزة خلال نسبة مئوية معينة  $p\%$  من الوقت.

#### 1.3.4 جزء بولينغتون من حساب الانعراج

في المعادلات التالية، تحسب المنحدرات بوحدة  $m/km$  نسبة إلى خط الأساس الواصل لمستوى سطح البحر عند المرسل. مستوى سطح البحر عند المستقبل. وتكون المسافة والارتفاع للنقطة ذات الترتيب  $i$  في المظهر الجانبي  $d_i$  و  $g_i$  km فوق مستوى سطح البحر على التوالي، ويتحصل المتحول  $i$  قيمًا تتراوح بين 1 و  $n$  حيث  $n$  هو عدد نقاط المظهر الجانبي والطول الكامل للمسير هو  $d$ . وتسهيلًا للعمل، يشار إلى المطرين في بداية ونهاية المظهر الجانبي كمرسل ومستقبل بارتفاعين بالأمتار فوق مستوى سطح البحر  $h_{rs}$  و  $h_{tc}$  على التوالي. ويعطي الخناء الأرض الفعال، ( $C_e km^{-1}$ )، بالكسر  $1/a_p$  حيث  $a_p$  هو نصف قطر الأرض الفعال بالكيلومترات. ويمثل طول الموجة بالأمتار بالرمز  $\lambda$ . ترد القيم التي يتبعن استخدامها لحساب  $a_p$  في الفقرة 5.3.4.

إيجاد النقطة الوسيطة في المظهر الجانبي ذات أعلى ميل للخط من المرسل إلى النقطة.

$$(13) \quad S_{tim} = \max \left[ \frac{g_i + 500C_e d_i (d - d_i) - h_{tc}}{d_i} \right] \text{ m/km}$$

حيث يتحصل مؤشر المظهر الجانبي  $i$  قيمًا تتراوح بين 2 و 1 -  $n$ .

ويُحسب ميل الخط من المرسل إلى المستقبل بافتراض مسیر على خط البصر:

$$(14) \quad S_{tr} = \frac{h_{rc} - h_{tc}}{d} \text{ m/km}$$

ويجب الآن أن تؤخذ حالتان بعين الاعتبار.

الحالة 1: مسیر الانعراج على خط البصر

في حال ( $S_{tim} < S_{tr}$ )، يكون مسیر الانعراج على خط البصر.

إيجاد النقطة الوسيطة في المظهر الجانبي ذات أعلى معلمة انعراج  $v$ :

$$(15) \quad v_{max} = \max \left\{ \left[ g_i + 500C_e d_i (d - d_i) - \frac{h_{tc}(d - d_i) + h_{rc}d_i}{d} \right] \sqrt{\frac{0,002d}{\lambda d_i(d - d_i)}} \right\}$$

حيث يتحصل مؤشر المظهر الجانبي  $i$  قيمًا تتراوح بين 2 و 1 -  $n$ .

وفي هذه الحالة، تعطى خسارة حد السكين لنقطة بولينغتون كما يلي:

$$(16) \quad L_{uc} = J(v_{max}) \text{ dB}$$

حيث تعطى الدالة  $J$  بالمعادلة (12) من أجل  $v_b$  أكبر من  $-0,78$ ، وتكون صفرًا خلاف ذلك.

الحالة 2: المسير عبر الأفق

في حال ( $S_{tim} \geq S_{tr}$ ), يكون المسير عبر الأفق.

إيجاد النقطة الوسيطة في المظهر الجانبي ذات أعلى ميل للنحط من المستقبل إلى النقطة.

$$(17) \quad S_{rim} = \max \left[ \frac{g_i + 500C_e d_i (d - d_i) - h_{rc}}{d - d_i} \right] \text{ m/km}$$

حيث يتخذ مؤشر المظهر الجانبي  $i$  قيمًا تترواح بين 2 و 1 -  $n$ .

وتحسب مسافة نقطة بولينغتون من المرسل:

$$(18) \quad d_{bp} = \frac{h_{rc} - h_{tc} + S_{rim}d}{S_{tim} + S_{rim}} \text{ km}$$

وتحسب معلومة الانعراج،  $v_b$ , لنقطة بولينغتون:

$$(19) \quad v_b = \left[ h_{tc} + S_{tim}d_{bp} - \frac{h_{tc}(d - d_{bp}) + h_{rc}d_{bp}}{d} \right] \sqrt{\frac{0,002d}{\lambda d_{bp}(d - d_{bp})}}$$

وفي هذه الحالة، تعطى خسارة حد السكين لنقطة بولينغتون كما يلي:

$$(20) \quad L_{uc} = J(v_b) \text{ dB}$$

ومن أجل الخسارة  $L_{uc}$  المحسوبة باستخدام إحدى المعادلين (16) أو (20)، تعطى خسارة انعراج بولينغتون في المسير كما يلي:

$$(21) \quad L_{bull} = L_{uc} + \left[ 1 - \exp \left( \frac{-L_{uc}}{6} \right) \right] (10 + 0,02d) \text{ dB}$$

### 2.3.4 خسارة الانعراج في الأرض الكروية

وتحسب خسارة الانعراج،  $L_{dsph}$ , في الأرض الكروية غير المتجاوزة خلال نسبة مئوية معينة  $p$  % من الوقت لارتفاعي الهوائي ( $m$ ), على النحو التالي.

وتحسب المسافة الهاشمية على خط البصر لمسير أملس:

$$(22) \quad d_{los} = \sqrt{2a_p} \left( \sqrt{0,001h_{tesph}} + \sqrt{0,001h_{resph}} \right) \text{ km}$$

في حال ( $d \geq d_{los}$ ), تُحسب خسارة الانعراج باستخدام الطريقة المذكورة في الفقرة 3.3.4 من أجل ( $a_{dft} = a_p$ ) للحصول على  $L_{dft}$  وتساوي الخسائران  $L_{dsph}$  و  $L_{dft}$ . ولا ضرورة لمزيد من حساب الانعراج في الأرض الكروية.

وبخلاف ذلك، يستمر على النحو التالي:

ويُحسب أصغر خلوص ارتفاع بين المسير المنحني على الأرض والشعاع بين الهوائيين،  $h_{se}$ , المعطى بما يلي:

$$(23) \quad h_{se} = \frac{\left( h_{tesph} - 500 \frac{d_{sel}^2}{a_p} \right) d_{se2} + \left( h_{resph} - 500 \frac{d_{se2}^2}{a_p} \right) d_{sel}}{d} \text{ m}$$

حيث:

$$(24a) \quad d_{sel} = \frac{d}{2}(1+b) \quad \text{km}$$

$$(24b) \quad d_{se2} = d - d_{sel} \quad \text{km}$$

$$(24c) \quad b = 2\sqrt{\frac{m_c+1}{3m_c}} \cos \left\{ \frac{\pi}{3} + \frac{1}{3} \arccos \left( \frac{3c}{2} \sqrt{\frac{3m_c}{(m_c+1)^3}} \right) \right\}$$

حيث تنتج دالة قوس جيب التمام زاوية بالراديان

$$(24d) \quad c = \frac{h_{tesph} - h_{resph}}{h_{tesph} + h_{resph}}$$

$$(24e) \quad m_c = \frac{250d^2}{a_p(h_{tesph} + h_{resph})}$$

يُحسب الخلوص المطلوب عند انعدام خسارة الانعراج،  $h_{req}$ ، ويعطى بما يلي:

$$(25) \quad h_{req} = 17,456 \sqrt{\frac{d_{sel}d_{se2}\lambda}{d}} \quad \text{m}$$

في حال ( $h_{se} > h_{req}$ ) تندم خسارة الانعراج في الأرض الكروية  $L_{dsph}$ . ولا ضرورة لمزيد من حساب الانعراج في الأرض الكروية.

وبخلاف ذلك، يستمر على النحو التالي:

يُحسب نصف قطر الأرض الفعال المعدل،  $a_{em}$ ، بما يعطي خط بصر هامشي على مسافة  $d$  تعطى بما يلي:

$$(26) \quad a_{em} = 500 \left( \frac{d}{\sqrt{h_{tesph}} + \sqrt{h_{resph}}} \right)^2 \quad \text{km}$$

تُستخدم الطريقة المذكورة في الفقرة 3.3.4 من أجل ( $a_{dft} = a_{em}$ ) للحصول على الخسارة  $L_{dft}$ .

إذا كانت الخسارة  $L_{dft}$  سالبة، تندم خسارة الانعراج في الأرض الكروية  $L_{dsph}$ . ولا ضرورة لمزيد من حساب الانعراج في الأرض الكروية.

وبخلاف ذلك، يستمر على النحو التالي:

تحسب خسارة الانعراج في الأرض الكروية بالاستكمال الداخلي:

$$(27) \quad L_{dsph} = \left[ 1 - \frac{h_{se}}{h_{req}} \right] L_{dft} \quad \text{dB}$$

### 3.3.4 جزء الحد الأول من خسارة الانعراج في الأرض الكروية

تعطي هذه الفقرة طريقة لحساب الانعراج في الأرض الكروية باستخدام الحد الأول فقط من السلاسل المتبقية. وهي تشكل جزءاً من طريقة الانعراج الكلي الموضحة في الفقرة 2.3.4 أعلاه لتعطي الحد الأول من خسارة الانعراج  $L_{dft}$ ، من أجل قيمة معينة لنصف قطر الأرض الفعال  $a_{dft}$ . وترتدي قيمته  $a_{dft}$  التي يتعين استخدامها في الفقرة 2.3.4.

وتحدد الخصائص الكهربائية للتضاريس النمطية على البر بالسمالية النسبية  $\epsilon_r = 22,0$  والإ يصلالية النوعية  $\sigma = S/m 0,003$  وتحسب الخسارة  $L_{dft}$  باستخدام المعادلات (29) حتى (36) وتدعى النتيجة  $L_{dfitland}$ .

وتحدد الخصائص الكهربائية للتضاريس النمطية في البحر بالسمالية النسبية  $\epsilon_r = 80,0$  والإ يصلالية النوعية  $\sigma = S/m 5,0$  وتحسب الخسارة  $L_{dft}$  باستخدام المعادلات (29) حتى (36) وتدعى النتيجة  $L_{dfisea}$ .

ويعطى الآن الحد الأول لخسارة الانعراج في الأرض الكروية بما يلي:

$$(28) \quad L_{dft} = \omega L_{dfisea} + (1 - \omega) L_{dfitland} \quad \text{dB}$$

حيث  $\omega$  هو شطر المسير فوق البحر.

بدء الحساب الذي يتعين القيام به مرتين، على النحو الموضح أعلاه:

العامل المقياس لسمالية السطح في الاستقطاب الأفقي والرأسي:

$$(29a) \quad K_H = 0,036 (a_{dft} f)^{-1/3} \left[ (\epsilon_r - 1)^2 + \left( \frac{18\sigma}{f} \right)^2 \right]^{-1/4} \quad (\text{أفقي})$$

و

$$(29b) \quad K_V = K_H \left[ \epsilon_r^2 + \left( \frac{18\sigma}{f} \right)^2 \right]^{1/2} \quad (\text{رأسي})$$

إذا تضمن متوجه الاستقبال المكونتين الأفقية والرأسي، كأن يكون دائرياً أو مائلاً مثلاً، يفكك إلى مكونتين أفقية ورأسي، وتحسب كل منها على حدة وتحمع النتيجة بجمع متوجه لاتساع المجال. ولن تكون عملية التفكير هذه ضرورية في الحالة العملية لأنه يمكن فوق 300 MHz استعمال قيمة قدرها 1 من أجل  $B_{dft}$  في المعادلة (30).

وتحسب معلمة الاستقطاب الأرضية:

$$(30) \quad \beta_{dft} = \frac{1+1,6K^2 + 0,67K^4}{1+4,5K^2 + 1,53K^4}$$

حيث  $K$  هو  $K_H$  أو  $K_V$  وفقاً للاستقطاب.

المسافة المقيسة:

$$(31) \quad X = 21,88 \beta_{dft} \left( \frac{f}{a_{dft}^2} \right)^{1/3} d$$

والارتفاع المقيّس للمرسل والمستقبل:

$$(32a) \quad Y_t = 0,9575 \beta_{dft} \left( \frac{f^2}{a_{dft}} \right)^{1/3} h_{tesph}$$

$$(32b) \quad Y_r = 0,9575 \beta_{dft} \left( \frac{f^2}{a_{dft}} \right)^{1/3} h_{resph}$$

ويُحسب حد المسافة كما يلي:

$$(33) \quad F_X = \begin{cases} 11 + 10 \log(X) - 17,6X & \text{for } X \geq 1,6 \\ -20 \log(X) - 5,6488X^{1,425} & \text{for } X < 1,6 \end{cases}$$

وتحدد دالة الارتفاع المقيّس بما يلي:

$$(34) \quad G(Y) = \begin{cases} 17,6(B-1,1)^{0,5} - 5 \log(B-1,1) - 8 & \text{for } B > 2 \\ 20 \log(B+0,1B^3) & \text{otherwise} \end{cases}$$

حيث:

$$(35) \quad B = \beta_{dft} Y$$

.  $G(Y) \geq 2 + 20 \log K$  بحيث أن  $G(Y)$  يُحدّد الدالة

ويعطى الآن الحد الأول لخسارة الانعراج في الأرض الكروية بما يلي:

$$(36) \quad L_{dft} = -F_X - G(Y_t) - G(Y_r) \quad \text{dB}$$

#### 4.3.4 "نودج" دلتا بولينغتن خسارة الانعراج الكاملة

تُستخدم الطريقة المذكورة في الفقرة 1.3.4 للمظهر الجانبي الفعلي للتضاريس وارتفاعات الهوائي. وتحدد خسارة انعراج بولينغتن الناتجة في المسير الفعلي بالمساواة  $L_{bull} = L_{bulb}$  على النحو المعطى في المعادلة (21).

وُستخدم الطريقة المذكورة في الفقرة 1.3.4 لمرة ثانية، مع تصفيير جميع ارتفاعات المظهر الجانبي،  $g_i$ ، وتعديل ارتفاعات الهوائي، كما يلي:

$$(37a) \quad \dot{h}_{tc} = h_{tc} - h_{std} \quad \text{m}$$

$$(37b) \quad \dot{h}_{rc} = h_{rc} - h_{srd} \quad \text{m}$$

حيث يعطى ارتفاعاً الأرض المتساء عند المرسل والمستقبل  $h_{std}$  و  $h_{srd}$  في الفقرة 3.6.5 من المرفق 1. وتحدد خسارة الانعراج بطريقة بولينغتن لهذا المسير الأملس،  $L_{bull} = L_{bulb}$ ، على النحو المعطى بالمعادلة (21).

وُستخدم الطريقة المذكورة في الفقرة 2.3.4 لحساب خسارة الانعراج في الأرض الكروية،  $L_{dsph}$ ، من أجل طول المسير الفعلي km  $d$  ومع ما يلي:

$$(38a) \quad h_{tesph} = \dot{h}_{tc} \quad \text{m}$$

$$(38b) \quad h_{resph} = \dot{h}_{rc} \quad \text{m}$$

وتعطى الآن خسارة الانعراج في مسیر عام بما يلي:

$$(39) \quad L_d = L_{bulla} + \max\{L_{d_{spf}} - L_{bulla}, 0\} \quad \text{dB}$$

### 5.3.4 خسارة الانعراج غير المتجاوزة خلال النسبة المئوية $p\%$ من الوقت

تُستخدم الطريقة المذكورة في الفقرة 4.3.4 لحساب خسارة الانعراج  $L_d$  في متوسط نصف قطر الأرض الفعال،  $a_p = a_e$ ، كما يعطى بالمعادلة (7a). ويحدد متوسط خسارة الانعراج بالمساواة  $L_d = L_{d50}$ .

وفي حال  $p = 50\%$ ، تعطى خسارة الانعراج غير المتجاوزة خلال نسبة مئوية معينة  $p\%$  من الوقت،  $L_{dp}$ ، بالخسارة  $L_{d50}$  وفي حال ( $p < 50\%$ )، فإن خسارة الانعراج غير المتجاوزة خلال النسبة  $p\%$  من الوقت،  $L_{dp}$ ، تحسب على النحو التالي.

تُستخدم الطريقة المذكورة في الفقرة 4.3.4 لحساب خسارة الانعراج،  $L_d$  غير المتجاوزة خلال نسبة مئوية معينة  $\beta_0\%$  من الوقت  $a_\beta$ ، من أجل نصف قطر الأرض الفعال، كما تعطى بالمعادلة (7b). وتحدد خسارة الانعراج خلال نسبة مئوية معينة  $\beta_0\%$  من الوقت بالمساواة  $L_d = L_{d\beta}$ .

ويتحكم في تطبيق القيمتين المحتملتين لعامل نصف قطر الأرض الفعال عامل استكمال داخلي  $F_i$  يستند إلى توزيع لوغاريثمي عادي لخسارة الانعراج على مدى ( $50\% > p \geq \beta_0\%$ )، ويتم الحصول عليه بالمعادلات:

$$(40a) \quad F_i = \begin{cases} I\left(\frac{p}{100}\right) & \text{if } 50\% > p > \beta_0\% \\ I\left(\frac{\beta_0}{100}\right) & \end{cases}$$

$$(40b) \quad = 1 \quad \text{if } \beta_0\% \geq p$$

حيث  $I(x)$  هو مقلوب التوزيع الطبيعي التراكمي التكميلي بدلالة الاحتمال  $x$ . ويرد في المرفق 2 بهذا الملحق في بقية النوصية تقريب لدالة  $I(x)$  يمكن استعماله بمامش ثقة عندما تكون  $(x \leq 0,5)$ .

أما خسارة الانعراج،  $L_{dp}$ ، التي لا يتم تجاوزها أثناء النسبة المئوية  $p\%$  من الوقت فهي تعطى هنا بالمعادلة:

$$(41) \quad L_{dp} = L_{d50} + (L_{d\beta} - L_{d50}) F_i \quad \text{dB}$$

ويحدد العامل  $F_i$  بالمعادلات (40a-b)، تبعاً لقيم  $p$  و  $\beta_0$ .

ويتم الحصول على متوسط خسارة الإرسال الأساسية المصاحبة للانعراج،  $L_{bd50}$ ، بالمعادلة:

$$(42) \quad L_{bd50} = L_{bfs} + L_{d50} \quad \text{dB}$$

حيث يتم الحصول على  $L_{bfs}$  بالمعادلة (8).

ويتم الحصول على خسارة الإرسال الأساسية المصاحبة للانعراج والتي لا يتم تجاوزها أثناء النسبة المئوية  $p\%$  من الوقت بالمعادلة:

$$(43) \quad L_{bd} = L_{b0p} + L_{dp} \quad \text{dB}$$

حيث يتم الحصول على  $L_{b0p}$  بالمعادلة (10).

#### 4.4 الانتشار بالتأثير التروبوسفيري

الملاحظة 1 - من الصعب، عند نسب مئوية أدنى بكثير من 50%， فصل أسلوب الانتشار التروبوسفيري الحقيقي عن ظواهر الانتشار الثانوية الأخرى التي تنتج تأثيرات انتشار مماثلة. ومن ثم يعتبر نموذج "الانتشار التروبوسفيري" الوارد في هذه التوصية تعليمياً بجريباً لمفهوم الانتشار التروبوسفيري الذي يشمل أيضاً تأثيرات الانتشار الثانوية هذه. ويسمح ذلك بإجراء تبؤ مستمر متsons لخسارة الإرسال الأساسية عبر نسب مئوية من الوقت  $p$  تتراوح بين 0,001% و 50%， ويؤدي ذلك إلى ربط نموذج الانتشار التروبوسفيري الموجه والانعكاس على الطبقات عند نسب مئوية صغيرة من الوقت مع "أسلوب الانتشار" الحقيقي المناسب للمجال المتبقى الضعيف الذي يتم تجاوزه أثناء أكبر نسبة مئوية من الوقت.

الملاحظة 2 - لقد تم استيقاظ هذا النموذج للتبيؤ بالانتشار التروبوسفيري لأغراض التبؤ بالتدخل ولا يعتبر مناسباً لحساب شروط الانتشار خلال أكثر من 50% من الوقت والتي تؤثر في الجوانب الخاصة بالأداء في أنظمة المرحلات الراديوية عبر الأفق.

وتعطي المعادلة التالية خسارة الإرسال الأساسية العائدة إلى الانتشار التروبوسفيري  $L_{bs}$  معتبراً عنها بوحدة (dB) والتي لا يتم تجاوزها أثناء أية نسبة مئوية من الوقت  $p$  أدنى من 50%:

$$(44) \quad L_{bs} = 190,1 + L_f + 20 \log d + 0,573 \theta - 0,15 N_0 - 10,125 \left[ \log \left( \frac{50}{p} \right) \right]^{0,7} \text{ dB}$$

حيث:

$L_f$ : الخسارة حسب التردد:

$$(45) \quad L_f = 25 \log(f) - 2,5 \left[ \log \left( \frac{f}{2} \right) \right]^2 \text{ dB}$$

$N_0$ : الانكسارية للسطح على مستوى البحر عند منتصف المسير

#### 5.4 الانتشار الناتج عن الانتشار التروبوسفيري الموجه/الانعكاس على الطبقات

يتم الحصول على خسارة الإرسال الأساسية  $L_{ba}$  (dB)، المصاحبة للاحتثار التروبوسفيري الموجه والانعكاس على الطبقات، والتي لا يتم تجاوزها أثناء النسبة المئوية  $p$  من الوقت، بالمعادلة:

$$(46) \quad L_{ba} = A_f + A_d(p) \text{ dB}$$

حيث:

$A_f$ : إجمالي خسائر الاقتران الثابتة (باستثناء الخسائر الناتجة عن العوائق المحلية) بين الهوائيات وبنية الانتشار غير المنتظم في الجو:

$$(47) \quad A_f = 102,45 + 20 \log(f) + 20 \log(d_{lt} + d_{lr}) + A_{ff} + A_{st} + A_{sr} + A_{ct} + A_{cr} \text{ dB}$$

$A_{ff}$ : تصحيح عملي لمراقبة زيادة التوهين بزيادة طول الموجة في الانتشار التروبوسفيري الموجه

$$(47a) \quad A_{ff}(f) = \begin{cases} 45,375 - 137,0f + 92,5f^2 & \text{dB for } f < 0,5 \text{ GHz} \\ 0 & \text{dB for } f \geq 0,5 \text{ GHz} \end{cases}$$

$A_{sr}, A_{st}$ : خسارتا الانعراج العائد إلى تأثير حجب الموقع للمحطة المرسلة والمحطة المستقبلة، على التوالي:

$$(48) \quad A_{st,sr} = \begin{cases} 20 \log \left( 1 + 0,361 \theta''_{t,r} (fd_{lt,lr})^{1/2} \right) + 0,264 \theta''_{t,r} f^{1/3} \text{ dB} & \text{for } \theta''_{t,r} > 0 \text{ mrad} \\ 0 & \text{dB for } \theta''_{t,r} \leq 0 \text{ mrad} \end{cases}$$

حيث:

$$(48a) \quad \theta''_{t,r} = \theta_{t,r} - 0,1 d_{lt,lr} \quad \text{mrad}$$

: قيمتا تصحيح الاقتران بالانتشار التروبوسفيري الموجه على السطح فوق البحر للمحطة المرسلة والمحطة المستقبلة، على التوالي:

$$A_{ct,cr} = -3 \exp(-0,25d_{ct,cr}^2) \left\{ 1 + \tanh[0,07(50 - h_{ts,rs})] \right\} \quad \text{dB} \quad \text{for } \omega \geq 0,75$$

$$(49) \quad A_{ct,cr} = \begin{cases} -3 \exp(-0,25d_{ct,cr}^2) \left\{ 1 + \tanh[0,07(50 - h_{ts,rs})] \right\} & \omega \geq 0,75 \\ 0 & \text{for } d_{ct,cr} \leq d_{lt,lr} \\ 0 & \text{for } d_{ct,cr} \leq 5 \text{ km} \\ 0 & \text{for all other conditions} \end{cases}$$

ومن المفید الإشارة إلى المجموعة المحدودة من الشروط التي تكون فيها المعادلة (49) ضرورية.

: الخسائر بدلالة النسبة المئوية من الوقت والمسافة الزاوية داخل آلية الانتشار غير المنتظم:

$$(50) \quad A_d(p) = \gamma_d \theta' + A(p) \quad \text{dB}$$

حيث:

$\gamma_d$ : التوهين النوعي:

$$(51) \quad \gamma_d = 5 \cdot 10^{-5} a_e f^{1/3} \quad \text{dB/mrad}$$

$\theta'$ : المسافة الزاوية (مصححة وفقاً للحاجة (من خلال المعادلة (48a)) من أجل إتاحة تطبيق نموذج تأثير حجب الموقع في المعادلة (46)):)

$$(52) \quad \theta' = \frac{10^3 d}{a_e} + \theta'_t + \theta'_r \quad \text{mrad}$$

$$(52a) \quad \theta'_{t,r} = \begin{cases} \theta_{t,r} & \text{for } \theta_{t,r} \leq 0,1 d_{lt,lr} \\ 0,1 d_{lt,lr} & \text{for } \theta_{t,r} > 0,1 d_{lt,lr} \end{cases} \quad \text{mrad}$$

: التغير في النسبة المئوية من الوقت (توزيع تراكمي):

$$(53) \quad A(p) = -12 + (1,2 + 3,7 \cdot 10^{-3} d) \log \left( \frac{p}{\beta} \right) + 12 \left( \frac{p}{\beta} \right)^\Gamma \quad \text{dB}$$

$$(53a) \quad \Gamma = \frac{1,076}{(2,0058 - \log \beta)^{1,012}} \exp \left[ - \left( 9,51 - 4,8 \log \beta + 0,198 (\log \beta)^2 \right) \cdot 10^{-6} d^{1,13} \right]$$

$$(54) \quad \beta = \beta_0 \mu_2 \mu_3 \%$$

م<sub>2</sub>: التصحيح بالنسبة إلى هندسة المسير:

$$(55) \quad \mu_2 = \left( \frac{500}{a_e} \frac{d^2}{(\sqrt{h_{te}} + \sqrt{h_{re}})^2} \right)^a$$

ويجب ألا تتجاوز قيمة  $\mu_2$  مقدار 1:

$$(55a) \quad a = -0,6 - \tau d^{3,1} \epsilon \cdot 10^{-9}$$

حيث:

$\epsilon$  : 3,5

$a$ : محددة في المعادلة (3)، ويجب ألا تقل قيمة  $a$  عن 3,4.

م<sub>3</sub>: تصحيح عدم الانتظام في التضاريس الأرضية:

$$(56) \quad \mu_3 = \begin{cases} 1 & \text{for } h_m \leq 10 \text{ m} \\ \exp[-4,6 \cdot 10^{-5} (h_m - 10) (43 + 6 d_I)] & \text{for } h_m > 10 \text{ m} \end{cases}$$

و:

$$(56a) \quad d_I = \min(d - d_{lt} - d_{lr}, 40) \quad \text{km}$$

ويرد تعريف المصطلحات الأخرى في الجداولين 1 و 2 وفي المرفق 1 لهذا الملحق.

#### 6.4 خسارة الإرسال الأساسية التي لا يتم تجاوزها أثناء النسبة المئوية $p\%$ من الوقت وفي 50% من الواقع بغض النظر عن تأثيرات جلبة المطراف

ينبغي تطبيق الإجراء التالي على نتائج الحسابات السالفة بالنسبة لكل المسيرات كي تُحسب خسارة الإرسال الأساسية التي لا يتم تجاوزها أثناء النسبة المئوية  $p\%$  من الوقت وفي 50% من الواقع. ولتحاشي عدم الاستمرارية غير المعقولة فيما يُتبناه به من خسائر إرسال أساسية افتراضية، يجب خلط نماذج الانتشار السالفة معاً للحصول على قيم معدلة لخسائر الإرسال الأساسية بغية تحقيق تنبؤ إجمالي من أجل النسبة المئوية  $p\%$  من الوقت وفي 50% من الواقع.

يحسب عامل الاستكمال الداخلي،  $F_j$ ، لأخذ المسافة الزاوية للمسير في الحساب:

$$(57) \quad F_j = 1,0 - 0,5 \left[ 1,0 + \tanh \left( 3,0 \kappa \frac{(\theta - \Theta)}{\Theta} \right) \right]$$

حيث:

$\Theta$ : معلمة ثابتة تحدد المدى الزاوي للخلط المصاحب؛ وتأخذ القيمة 0,3

$\kappa$ : معلمة ثابتة تحدد ميل الخلط في نهاية المدى؛ وتأخذ القيمة 0,8

$\theta$ : المسافة الزاوية للمسير (mrad)، التي يرد تعريفها في الجدول 8.

يحسب عامل الاستكمال الداخلي،  $F_k$ ، لأخذ مسافة الدائرة العظمى للمسير في الحساب:

$$(58) \quad F_k = 1,0 - 0,5 \left[ 1,0 + \tanh \left( 3,0 \kappa \frac{(d - d_{sw})}{d_{sw}} \right) \right]$$

حيث:

$d$ : طول مسیر الدائرة العظمى (km) المحدد في الجدول 3

$d_{sw}$ : معلمة ثابتة تحدد مدى المسافة للخلط المصاحب؛ وتأخذ القيمة 20

$\kappa$ : معلمة ثابتة تحدد ميل الخلط في نهايتي المدى؛ وتأخذ القيمة 0,5.

تحسب خسارة الإرسال الأساسية الدنيا الافتراضية،  $L_{minb0p}$  (dB)، المصاحبة لانتشار خط البصر وانتعاج المسير الفرعى فوق البحر:

$$(59) \quad L_{minb0p} = \begin{cases} L_{b0p} + (1-\omega)L_{dp} & \text{for } p < \beta_0 \\ L_{bd50} + (L_{b0\beta} + (1-\omega)L_{dp} - L_{bd50})F_i & \text{for } p \geq \beta_0 \end{cases} \text{ dB}$$

حيث:

$L_{b0p}$ : خسارة الإرسال الأساسية الافتراضية في خط البصر التي لا يتم تجاوزها أثناء النسبة المئوية  $p$  من الوقت، والتي يتم الحصول عليها بالمعادلة (10)

$L_{b0\beta}$ : خسارة الإرسال الأساسية الافتراضية في خط البصر التي لا يتم تجاوزها أثناء النسبة المئوية  $\beta_0$  من الوقت، والتي يتم الحصول عليها بالمعادلة (11)

$L_{dp}$ : خسارة الانتعاج التي لا يتم تجاوزها أثناء النسبة المئوية  $p$  من الوقت، المعطاة بالمعادلة (41)

$L_{bd50}$ : متوسط خسارة الإرسال الأساسية المصاحبة للانتعاج، المعطى بالمعادلة (42)

$F_i$ : عامل الاستكمال الداخلي للانتعاج، ويتم الحصول عليه بالمعادلة (40).

تحسب خسارة الإرسال الأساسية الدنيا الافتراضية،  $L_{minbap}$  (dB)، المصاحبة لانتشار خط البصر وتعزيزات الإشارة عبر الأفق:

$$(60) \quad L_{minbap} = \eta \ln \left[ \exp \left( \frac{L_{ba}}{\eta} \right) + \exp \left( \frac{L_{b0p}}{\eta} \right) \right] \text{ dB}$$

حيث:

$L_{ba}$ : خسارة الإرسال الأساسية في الانتشار التروبوسفيري الموجه والانعكاس على الطبقات التي لا يتم تجاوزها أثناء النسبة المئوية  $p$  من الوقت، والتي يتم الحصول عليها بالمعادلة (46)

$L_{b0p}$ : خسارة الإرسال الأساسية في خط البصر الافتراضي التي لا يتم تجاوزها أثناء النسبة المئوية  $p$  من الوقت، والتي يتم الحصول عليها بالمعادلة (10)

$$\eta = 2,5$$

تحسب خسارة الإرسال الأساسية الافتراضية،  $L_{bda}$  (dB)، المصاحبة للانتعاج وتعزيزات خط البصر أو الانتشار التروبوسفيري الموجه والانعكاس على الطبقات:

$$(61) \quad L_{bda} = \begin{cases} L_{bd} & \text{for } L_{minbap} > L_{bd} \\ L_{minbap} + (L_{bd} - L_{minbap})F_k & \text{for } L_{minbap} \leq L_{bd} \end{cases} \text{ dB}$$

حيث:

: خسارة الإرسال الأساسية المصاحبة للانتعاج التي لا يتم تجاوزها أثناء النسبة المئوية  $p\%$  من الوقت من  $L_{bda}$   
المعادلة (43)

: خسارة الإرسال الأساسية الدنيا الافتراضية المصاحبة لانتشار خط البصر وتعزيزات الإشارة عبر الأفق  
من المعادلة (60)

: عامل الاستكمال الداخلي، الذي يتم الحصول عليه بالمعادلة (58)، وفق قيمة مسافة الدائرة العظمى  
للمسیر،  $d$ .

تحسب خسارة الإرسال الأساسية المعدلة،  $L_{bam}$  (dB)، التي تأخذ في الحسبان الانتعاج، وتعزيزات خط البصر أو الانتشار  
التروبوسفيري الموجه والانعكاس على الطبقات:

$$(62) \quad L_{ban} = L_{bda} + (L_{minb0p} - L_{bda})F_j \quad \text{dB}$$

حيث:

: خسارة الإرسال الأساسية الافتراضية المصاحبة للانتعاج وتعزيزات خط البصر أو الانتشار التروبوسفيري  
الموجه والانعكاس على الطبقات، والتي يتم الحصول عليها بالمعادلة (61)

: خسارة الإرسال الأساسية الدنيا الافتراضية المصاحبة لانتشار خط البصر وانتعاج المسير الفرعي فوق  
البحر، والتي يتم الحصول عليها بالمعادلة (59)

: عامل الاستكمال الداخلي الذي يتم الحصول عليه بالمعادلة (57)، وفق قيمة المسافة الزاوية للمسیر،  $\theta$ .

تحسب خسارة الإرسال الأساسية التي لا يتم تجاوزها أثناء النسبة المئوية  $p\%$  من الوقت وفي 50% من الواقع بعض النظر عن  
تأثيرات جلبة المطراف،  $L_{bu}$  (dB)، والتي يتم الحصول عليها بالمعادلة:

$$(63) \quad L_{bu} = -5 \log(10^{-0,2L_{bs}} + 10^{-0,2L_{bam}}) \quad \text{dB}$$

حيث:

: خسارة الإرسال الأساسية نتيجة الانتشار التروبوسفيري والتي لا يتم تجاوزها أثناء أية نسبة مئوية من  
الوقت  $p\%$ ، والتي يتم الحصول عليها بالمعادلة (44)

: خسارة الإرسال الأساسية المعدلة التي تأخذ في الحسبان الانتعاج، وتعزيزات خط البصر أو الانتشار  
التروبوسفيري الموجه والانعكاس على الطبقات، والتي يتم الحصول عليها بالمعادلة (62).

#### 7.4 خسائر إضافية من محیط المطراف

عند توضع هوائي المرسل أو المستقبل تحت الارتفاعين  $R_r$  أو  $R_t$  الممثلين للغطاء الأرضي المحيط بالمرسل أو المستقبل، فإن تقدیر  
الخسائرتين الإضافيتين للمرسل للمستقبل  $A_{hr}$ ،  $A_{ht}$  يُحسب كما يلي. ويرد بحث القيم المناسبة للارتفاع  $R$  في الفقرة 2.3.

وتعطي الطريقة الواردة أدناه متوسط الخسائر الناجمة عن مختلف ما يحيط بمطراف. وتشمل الآليات الممكنة الخسارة جراء  
العوائق، والانعكاسات بفعل الأشياء المسيبة للجلبة على ارتفاع تمثيلي، والانتشار والانعكاس من الأرض والأشياء الأصغر المسيبة  
للجلبة. وعند استخدام تطبيق حاسوبي حيث يستخرج المظهر الجانبي للتضاريس من نموذج رقمي للتضاريس، وتحدد فئة الجلبة  
البيئة المحاطة بالمطراف، يصعب من الناحية العملية تحديد الآليات الفردية. وتتميز الطريقة المستخدمة هنا بين حالتين عامتين: ففي  
فillas الغابات والمناطق الحضرية، يفترض أن الآلية السائدة هي الانتعاج فوق الجلبة، وفي الفئات الأخرى، يفترض أن الانعكاس  
أو الانتشار هما السائدان.

والطريقة المستخدمة للمرسل والمستقبل واحدة وتكون في الأحوال التالية،  $A_h = A_{ht}$  أو  $A_h = A_{hr}$  أو  $R_r = R_t = R$  أو  $R_r = h_{rg}$  أو  $R_t = h_{tg}$  أو  $R_r = R_t = A_{ht}$  حسب الاقتضاء.

فإذا كان ( $R < h$ ) فإن ( $A_h = 0$ )

وإذا كان ( $R > h$ )، فإن  $A_h$  يمكن أن تتحذ إحدى صيغتين، تبعاً لنمط الخلبة (انظر الجدول 2):

$$(64a) \quad A_h = J(v) - 6,03 \quad \text{dB} \quad \text{أو:}$$

$$(64b) \quad A_h = -K_{h2} \log(h/R) \quad \text{dB} \quad \text{تحسب الدالة } J(v) \text{ بواسطة المعادلة (12).}$$

ويتم الحصول على الحدين  $v$  و  $K_{h2}$  بالمعادلات:

$$(64c) \quad v = K_{nu} \sqrt{h_{dif} \theta_{clut}}$$

$$(64d) \quad h_{dif} = R - h \quad \text{m}$$

$$(64e) \quad \theta_{clut} = \arctan\left(\frac{h_{dif}}{w_s}\right) \quad \text{degrees}$$

$$(64f) \quad K_{h2} = 21,8 + 6,2 \log(f)$$

$$(64g) \quad K_{nu} = 0,342 \sqrt{f}$$

حيث:

$f$ : التردد (GHz).

$w_s$ : تشير إلى عرض الشارع. وينبغي استعمال القيمة 27 ما لم تتوفر معلومات محلية محددة.

تمثل صيغة المعادلة (64a) خسارة انعراج فرينل (Fresnel) عبر عائق، وتطبق على فئات الخلبة من قبيل جلبة المباني. وتكون الخلبة الحضرية، على وجه الخصوص، من هذا النمط.

وتمثل المعادلة (64b) دالة كسب الارتفاع الناجم عن القرب من الأرض في موقع أكثر افتاحاً. وحيثما يحدث انعكاس مرآوي عن الأرض يدل ذلك نمطياً على أن تغيرات الإشارة تقع تحت أول ذروة لتدخل شعاعين. وحيثما لا يحدث انعكاس مرآوي يدل ذلك نمطياً على أن التغيرات تحت الارتفاع  $R$  تعود إلى تضليل أجسام وحالات عدم انتظام طفيفة.

ولا تحدث أول ذروة شعاعين واضحة المعالم إلا في ظروف خاصة تسمح بانعكاس عن الأرض، وهي ظروف لا يمكن تحديدها من البيانات الطبوغرافية المعاادة المتاحة لأنظمة الحاسوب. وما لم تتوفر معلومات خاصة عن محيط مطراف، ينبغي استخدام قيمة  $R$  المرتبطة بفئة الخلبة في المعادلة (64b).

وفي حال توفر معلومات خاصة تحدد سطحاً مستوياً أملساً عاكساً بخلوص فرينل مناسب لدعم الانعكاس عن الأرض، يمكن حساب  $R$  باستخدام الطريقة الواردة في المرفق 3. ييد أن هذا النهج يحاول التعرف على نقطة محددة في توزيع متعدد المسيرات، بما لا يتسمق مع المبادئ التي يقوم عليها التبؤ من نقطة إلى منطقة، ولا يتواافق مع حساب تغير الموقع الوارد في الفقرة 8.4. وينبغي بالتالي أن يقتصر التقدير المفصل للانعكاس عن الأرض على استخدام توصية غير تلك المعنية بالتبؤ من نقطة إلى منطقة.

ويتم الحصول على خسارة الإرسال الأساسية التي لا يتم تجاوزها أثناه النسبة المئوية  $p$  من الوقت وفي 50% من الواقع بما فيها تأثيرات جلبة المطراف، ( $L_{bc}$  dB)، بالمعادلة:

$$(65) \quad L_{bc} = L_{bu} + A_{ht} + A_{hr} \quad \text{dB}$$

حيث:

$L_{bu}$ : خسارة الإرسال الأساسية التي لا يتم تجاوزها أثناء النسبة المئوية  $p\%$  من الوقت وفي 50% من الواقع عند ارتفاع الخلبة التمثيلية (أو فوقه حسب الاقتضاء)، والتي يتم الحصول عليها بالمعادلة (63)

$A_{ht,hr}$ : خسائر إضافية لاحتساب محيط المطراف في المعادلين (64a و 64b) حسب الاقتضاء.

#### 8.4 تغير الخسارة حسب الموقع

في هذه التوصية، وبصفة عامة، يشير مفهوم التغيير في الموقع إلى الإحصائيات المكانية الخاصة بتغيرات العطاء الأرضي المحلي. وهو ما يمثل نتيجة مفيدة بالنسبة إلى المقاييس التي تفوق بكثير تغيرات العطاء الأرضي، والتي لا تمثل تغيرات المسير بالنسبة إليها أي أهمية. وبما أن التغيير في الموقع يُعرف على نحو يُستبعد تغيرات المسيرات المتعددة، فإنه لا يعتمد على عرض نطاق النظام.

وسيكون من الضروري أيضاً، فيما يتعلق بتحطيم الأنظمة الراديوية، أن تؤخذ تأثيرات المسيرات المتعددة في الحسبان. وسيختلف تأثير هذه الآثار باختلاف الأنظمة وبالتالي يتوقف على عرض النطاق والتشكيل ومنحني التشفير. وتقدم التوصية ITU-R P.1406 إرشادات بشأن نمذجة هذه التأثيرات.

ويبيّن التحليل المكثف للبيانات أن توزيع شدة المجال المتوسطة الناجمة عن تغيرات العطاء الأرضي في منطقة في البيئات الحضرية والضواحي، هو توزيع لوغارتمي عادي تقريباً ذو متوسط صفرى.

وتعتمد قيم الانحراف المعياري على التردد والبيئة، وقد أظهرت الدراسات التجريبية انتشاراً كبيراً. ويمكن الحصول على القيم التمثيلية للانحراف المعياري بالنسبة لمساحات تبلغ  $500 \times 500 \text{ m}$  بواسطة المعادلة التالية:

$$(66) \quad \sigma_L = K_L + 1,3 \log(f) \quad \text{dB}$$

حيث:

$K_L = 5,1$  بالنسبة إلى المستقبلات ذات هوائيات المنصوبة تحت ارتفاع الخلبة في البيئة الحضرية وبيئة الضواحي لأنظمة المتنقلة ذات هوائيات شاملة الاتجاهات بارتفاع سقف سيارة

$= 4,9$  بالنسبة إلى المستقبلات ذات هوائيات سقف قرب ارتفاع الخلبة

$= 4,4$  بالنسبة إلى المستقبلات في المناطق الريفية

: التردد المطلوب (GHz).

وإذا كانت المنطقة التي يُزمع تطبيق التغيير في الموقع عليها أكبر مساحة من  $500 \times 500 \text{ m}$ ، أو إذا كان التغيير يتعلق بكل المنطقة في مدى معين، وليس عبر مناطق فردية، فسوف تزداد قيمة الانحراف المعياري،  $\sigma_L$ . وقد بيّنت الدراسات التجريبية أن الزيادة في التغيير في الموقع (بالنسبة لقيم منطقة صغيرة) تصل إلى 4 dB لمنطقة نصف قطرها 2 km وإلى 8 dB لمنطقة نصف قطرها 50 km.

ويمكن لموقع النسب المئوية،  $p_L$ ، أن تتغيّر بين 1% و99%. ولا يصلح هذا النموذج لموقع نسب مئوية تقل عن 1% أو تزيد عن 99%.

وتجدر الإشارة إلى أنه سيكون من الضروري بوجه عام، لبعض أغراض التخطيط (على سبيل المثال، خطط التعيين المتعدد للأطراف) استعمال تعريف "التغيير في الموقع" الذي يشتمل على درجة من خbio المسيرات المتعددة. ويسري ذلك على حالة مستقبل متنقل، بأسلوب ثابت في حالة عدم وجود آثار متربطة على الانتشار عبر مسيرات متعددة أو هوائي فوق السطح عليه استقبال عدد من الترددات ولا يمكن توجيهه على نحو أمثل للجميع. وإضافة إلى ذلك، يمكن أن يحتاج هذا التخطيط إلى مراعاة التغيير في منطقة أكبر من المنطقة المفترضة في هذه التوصية.

وفي هذا السياق، تعد القيم الواردة في الجدول 6 ملائمة بالنسبة إلى عدد من الخدمات الراديوية المخطط لها.

## الجدول 6

## قيم الانحراف المعياري للتغير في الموقع المستعملة في بعض حالات التخطيط

الانحراف المعياري			
MHz 2 000	MHz 600	MHz 100	
-	9,5	8,3	الخدمة الإذاعية، ثماثلية (dB)
5,5	5,5	5,5	الخدمة الإذاعية، رقمية (dB)

ولا ينطبق تصحيح تغيير الموقع عندما يكون المستقبل/المتنقل مجاوراً للبحر.

وعند وضع المستقبل/المتنقل على الأرض وخارج المباني بينما يكون ارتفاعه فوق الأرض أكبر من أو يساوي ارتفاع الجلبة التمثيلية، فمن المعقول، مع ارتفاعات الارتفاع، توقيع التناقض المطرد للتغير في الموقع إلى حد التلاشي في نقطة ما. وفي هذه التوصية، يمكن الحصول على تغایر ارتفاع التغییر في الموقع، ( $u(h)$ ، بالعلاقات التالية:

$$(67) \quad \begin{aligned} u(h) &= 1 && \text{for } 0 \leq h < R \\ u(h) &= 1 - \frac{(h - R)}{10} && \text{for } R \leq h < R + 10 \\ u(h) &= 0 && \text{for } R + 10 \leq h \end{aligned}$$

حيث  $R$  (m) هو ارتفاع الجلبة التمثيلية في موقع المستقبل/المتنقل. لذا، بالنسبة إلى مستقبل/متنقل موجود خارج المباني، فإن الانحراف المعياري للتغییر في الموقع،  $L_b$ ، الذي يتم الحصول عليه بالمعادلة (66) أو من الجدول 6، ينبغي ضربه في دالة تغایر الارتفاع، ( $u(h)$ )، التي يتم الحصول عليها (67)، وذلك عند حساب قيمة خسارة الإرسال الأساسية لقيم  $p_{L_b}$  المختلفة عن 50%.

## 9.4 خسارة الدخول إلى المباني

تُعرَّف خسارة الدخول إلى المباني على أنها الفارق بوحدة (dB) بين متوسط شدة المجال (بالنسبة للموقع) خارج بناء على ارتفاع معين فوق مستوى الأرض ومتوسط شدة المجال داخل البناء نفسه (بالنسبة للموقع) على الارتفاع نفسه فوق مستوى الأرض.

ولا بد أيضاً من مراعاة معلمتين هامتين بالنسبة إلى الاستقبال داخل المباني. الأولى هي خسارة الدخول إلى المبني والثانية هي التغییر في خسارة الدخول إلى المبني نتيجة اختلاف مواد البناء. والانحرافات المعيارية الواردة أدناه تأخذ في الحسبان التفاوت الكبير في خسارة الدخول إلى المباني، إلا أنها لا تشمل التغیير في الموقع ضمن مختلف المباني. وتجدر الإشارة إلى أن المعلومات الموثوقة ونتائج القياس الخاصة بخسارة الدخول إلى المباني محدودة. وتترد قيم خسارة الدخول إلى المباني الممكن استعمالها في الجدول 7 أدناه، وذلك بصورة مؤقتة.

## الجدول 7

خسارة الدخول إلى المباني<sup>(1)</sup>,  $L_{be}$ ,  $\sigma_{be}$ 

الانحراف المعياري، $\sigma_{be}$ (dB)	متوسط القيمة، $L_{be}$ (dB)	F
3	9	GHz 0,2
6	11	GHz 0,6
6	11	GHz 1,5

<sup>(1)</sup> يمكن تحديث هذه القيم عند تيسير المزيد من البيانات التجريبية.

بالنسبة للترددات تحت GHz 0,2،  $L_{be} = \sigma_{be}$  dB 3 = 9 dB؛ وبالنسبة للترددات فوق GHz 1,5،  $L_{be} = \sigma_{be}$  dB 6 = 11 dB. وما بين الترددين GHz 0,2 وGHz 0,6 (وبيان GHz 0,6 وGHz 1,5)، يمكن الحصول على قيمة مناسبة لكل من

$\sigma_{be}$  بالاستكمال الداخلي الخطي بين قيم  $L_{be}$  و  $\sigma_{be}$  الواردة في الجدول 7 بالنسبة للترددات بين 0,2 GHz و 0,6 GHz (GHz 1,5 و 0,6).

أما تغير شدة المجال بالنسبة إلى الاستقبال داخل المباني فهو حصيلة دمج التغيير خارج المباني،  $\sigma_L$ ، والتغيير الناجم عن توهين البناء،  $\sigma_{be}$ . ولا يوجد على الأرجح ارتباط بين هذين التغييرين. ومن ثم يمكن حساب الانحراف المعياري بالنسبة إلى الاستقبال داخل المباني  $\sigma_i$  بأخذ الجذر التربيعي لمجموع مربع الانحرافين المعياريين الفرديين.

$$(68) \quad \sigma_i = \sqrt{\sigma_L^2 + \sigma_{be}^2} \quad \text{dB}$$

حيث  $\sigma_L$ ، الانحراف المعياري للتغيير في الموقع على النحو المتحصل عليه بالمعادلة (66) أو من الجدول 6.

فمثلاً، بالنسبة للإرسالات الرقمية بعرض نطاق أكبر من 1 MHz، في الموجات المترية (VHF)، حيث الانحرافان المعياريان للإشارة هما 5,5 dB و 3 dB على التوالي، تكون القيمة المركبة 6,3 dB. أما في النطاق IV/V، حيث الانحرافان المعياريان للإشارة هما 5,5 dB و 6 dB، تكون القيمة المركبة 8,1 dB.

#### 10.4 خسارة الإرسال الأساسية التي لا يتم تجاوزها للنسبة المئوية $p_L$ من الوقت وفي $L$ من الواقع

لحساب موقع النسبة المئوية المرغوبة، يتم الحصول على متوسط الخسارة،  $L_{loc}$ ، والانحراف المعياري،  $\sigma_{loc}$ ، من المعادلات التالية:

$$(69a) \quad L_{loc} = 0 \quad (\text{خارج المباني}) \quad \text{dB}$$

$$(69b) \quad L_{loc} = L_{be} \quad (\text{داخل المباني}) \quad \text{dB}$$

: و

$$(70a) \quad \sigma_{loc} = u(h)\sigma_L \quad (\text{خارج المباني}) \quad \text{dB}$$

$$(70b) \quad \sigma_{loc} = \sigma_i \quad (\text{داخل المباني}) \quad \text{dB}$$

حيث يرد متوسط خسارة الدخول إلى المباني،  $L_{be}$ ، في الجدول 7، ويتم الحصول على دالة الارتفاع،  $u(h)$ ، بالمعادلة (67) والانحرافان المعياريان،  $\sigma_L$  و  $\sigma_i$ ، يتم الحصول عليهما بالمعادلة (66) (أو الجدول 6) وبالمعادلة (68)، على التوالي.

ويتم الحصول على خسارة الإرسال الأساسية التي لا يتم تجاوزها للنسبة المئوية  $p_L$  من الوقت وفي  $L_b$  من الواقع، (dB)، بالمعادلة:

$$(71) \quad L_b = \max \left[ L_{b0p}, L_{bc} + L_{loc} - I \left( \frac{p_L}{100} \right) \sigma_{loc} \right] \quad \text{dB}$$

حيث:

$L_{b0p}$ : خسارة الإرسال الأساسية التي لا يتم تجاوزها للنسبة المئوية  $p_L$  من الوقت وفي 50% من الواقع والمصاحبة لخط البصر مع تعزيزات قصيرة الأجل، ويمكن الحصول عليها بالمعادلة (10)

$L_{bc}$ : خسارة الإرسال الأساسية التي لا يتم تجاوزها للنسبة المئوية  $p_L$  من الوقت وفي 50% من الواقع، بما فيها تأثيرات خسائر جبلة المطراف، ويمكن الحصول عليها بالمعادلة (65)

$L_{loc}$ : متوسط قيمة خسارة الموقع الذي يتم الحصول عليه بالمعادلة (69a) و (69b)

$I(x)$ : توزيع طبيعي تراكمي عكسي كدالة في الاحتمال،  $x$ . ويرد في المرفق 2 لهذا الملحق تقريب للدالة  $I(x)$  يمكن استعماله عندما تكون  $0,000001 \leq x \leq 0,999999$

$\sigma$ : انحراف معياري مركب (أي خسارة الدخول إلى المباني والتغيير في الموقع)، ويمكن الحصول عليها بالمعادلة (70a) و (70b).

ويمكن لموقع النسبة المئوية،  $p_L$ ، أن تتغير بين 1% و 99%. ولا يصلح هذا النموذج لمواقع نسب مئوية تقل عن 1% أو تزيد عن 99%.

## 11.4 شدة المجال التي يتم تجاوزها للنسبة المئوية $p\%$ من الوقت وفي $p_L$ % من الواقع

يمكن حساب شدة المجال المقيسة إلى قدرة متشعة فعالة مقدارها  $1 \text{ kW}$  والتي يتم تجاوزها للنسبة المئوية  $p\%$  من الوقت، وفي 50% من الواقع،  $E_p$  (dB(μV/m) باستخدام المعادلة:

$$(72) \quad E_p = 199,36 + 20 \log(f) - L_b \quad \text{dB}(\mu\text{V}/\text{m})$$

حيث:

$L_b$ : خسارة الإرسال الأساسية التي لا يتم تجاوزها للنسبة المئوية  $p\%$  من الوقت وفي  $p_L$  % من الواقع،

والمحسوبة بالمعادلة (71)

$f$ : التردد المطلوب (GHz).

## المرفق 1 للملحق 1

### تحليل المظهر الجانبي للمسير

#### مقدمة

#### 1

يتطلب تحليل المظهر الجانبي للمسير وجود مظهر جانبي لارتفاعات التضاريس الأرضية على طول المسير فوق متوسط مستوى البحر. ويقدم الجدول 8 المعلمات الواجب اشتراكها من تحليل المظهر الجانبي للمسير لأغراض نماذج الانتشار.

#### 2 رسم المظهر الجانبي للمسير

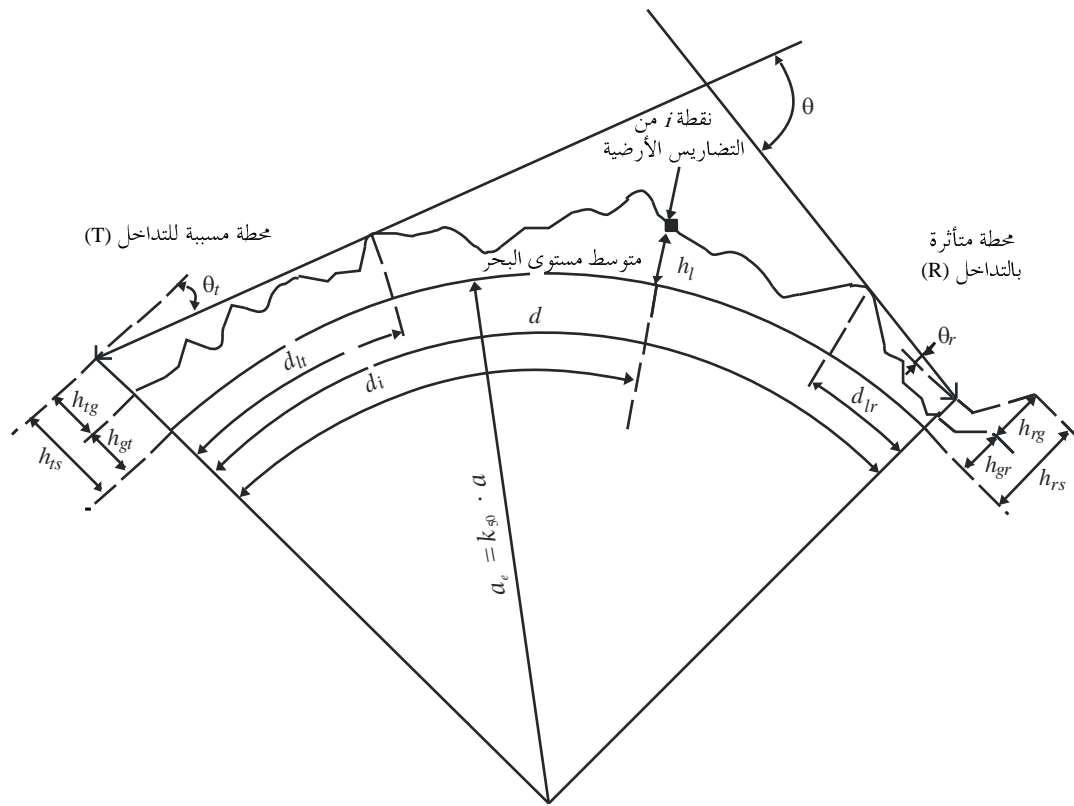
#### 2

استناداً إلى الإحدياثيات الجغرافية للمحطة المرسلة ( $p_r$ ،  $\varphi_r$ ،  $\psi_r$ ) والمحطة المستقبلة ( $p_t$ ،  $\varphi_t$ ،  $\psi_t$ ) ينبغي أن تشق ارتفاعات التضاريس الأرضية (فوق متوسط مستوى البحر) على طول مسیر الدائرة العظمى من قاعدة بيانات طبوغرافية أو من خرائط كفافية كبيرة مناسبة. وبقدر الإمكان من الناحية العملية، ينبغي أن تجسّد استبانة المسافة للمظهر الجانبي المعايير المأمة للتضاريس الأرضية. وعادةً تكون الزيادة في المسافة من 30 m إلى 1 km مناسبة. كما يصح عموماً استعمال زيادات أطول للمسافة من أجل المسيرات الأطول. وينبغي للمظهر الجانبي أن يختبر على ارتفاع الأرض عند موقعى المحطة المرسلة والمحطة المستقبلة باعتبارهما نقطتي البداية والنهاية. وتأخذ المعادلات التالية الخناء الأرض في الحسبان وفق الضرورة استناداً إلى قيمة  $a$  في المعادلة (7a).

ورغم أنه من المفضل استعمال نقاط مظهر جانبي منتظمة التباعد، فمن الممكن استعمال هذه الطريقة مع نقاط مظهر جانبي غير منتظمة التباعد. وقد يكون ذلك مفيداً عندما يستخلص المظهر الجانبي من خريطة رقمية ذات مناسبات لارتفاعات التضاريس الأرضية. إلا أنه تحدى الإشارة إلى أن التوصية قد أعدت استناداً إلى اختبارات تستعمل نقاط مظهر جانبي منتظمة التباعد ولا تتوفّر أي معلومات عن تأثير النقاط غير منتظمة التباعد على الدقة.

وتعتبر، لأغراض هذه التوصية، نقطة المظهر الجانبي للمسير في محطة الإرسال النقطة 1، بينما تعتبر النقطة في المحطة المستقبلة النقطة  $n$ . وهذا يتشكّل المظهر الجانبي للمسير من  $n$  نقطة. ويعطي الشكل 1 مثالاً للمظهر الجانبي للمسير عبر ارتفاعات التضاريس الأرضية فوق متوسط مستوى البحر مبيناً المعلمات المختلفة المتعلقة بالتضاريس الأرضية الفعلية.

الشكل 1  
مثال للمظهر الجانبي لمسير (عبر الأفق)



الملاحظة 1 - تكون قيمة  $\theta_t$  كما هي مرسومة قيمة سالبة.

P.1812-01

ويحدد الجدول 8 المعلمات المستعملة أو المشتقة أثناء تحليل المظهر الجانبي للمسير.

### الجدول 8

#### تعريف معلمات المظهر الجانبي للمسير

الوصف	المعلمة
نصف قطر الأرض الفعال (km)	$a_e$
مسافة مسير الدائرة العظمى (km)	$d$
الريادة التدرجية في المسافة المستعملة في معطيات المظهر الجانبي للمسير المنتظم (km) (أي بتباعدات متساوية)	$d_{ii}$
التردد (GHz)	$f$
طول الموجة (m)	$\lambda$
ارتفاع هوائي المرسل (m) فوق متوسط مستوى البحر (amsl)	$h_{ts}$
ارتفاع هوائي المستقبل (amsl) (m)	$h_{rs}$

## الجدول 8 (تممة)

الوصف	العلامة
بالنسبة للمسير عبر الأفق، زاوية ارتفاع الأفق فوق خط الأفق المحلي (mrad) مقاسة من الهوائي المرسل. وبالنسبة لمسير خط البصر، ينبغي أن تكون هذه الزاوية زاوية ارتفاع الهوائي المستقبل.	$\theta_t$
بالنسبة للمسير عبر الأفق، زاوية ارتفاع الأفق فوق خط الأفق المحلي (mrad) مقاسة من الهوائي المستقبل. وبالنسبة لمسير خط البصر، ينبغي أن تكون هذه الزاوية زاوية ارتفاع الهوائي المرسل	$\theta_r$
المسافة الزاوية للمسير (mrad)	$\theta$
ارتفاع "الأرض الممهدة" فوق متوسط مستوى البحر (amsl) عند موقع المخططة المرسلة (m)	$h_{st}$
ارتفاع "الأرض الممهدة" فوق متوسط مستوى البحر (amsl) عند موقع المخططة المستقبلة (m)	$h_{sr}$
ارتفاع النقطة من الرتبة $n$ في التضاريس الأرضية فوق متوسط مستوى البحر (m) $h_1$ : الارتفاع الأرضي للمرسل $h_n$ : الارتفاع الأرضي للمستقبل	$h_i$
وعورة التضاريس الأرضية (m)	$h_m$
الارتفاع الفعال للهوائي المرسل (m)	$h_{te}$
الارتفاع الفعال للهوائي المستقبل (m)	$h_{re}$

## 3 طول المسير

يمكن الحصول على طول المسير باستعمال هندسة الدائرة العظمى من الإحداثيات الجغرافية للمحطتين المرسلة ( $\varphi_s, \psi_s$ ) والمستقبلة ( $\varphi_r, \psi_r$ ). ويمكن بدلاً من ذلك تحديد طول المسير من المظهر الجانبي للمسير. إذ يمكن الحصول على طول المسير،  $d$  (km)، من بيانات المظهر الجانبي للمسير:

$$(73) \quad d = d_n \quad \text{km}$$

وبالنسبة إلى بيانات المظهر الجانبي لمسير منتظم التباعد، تصح العلاقة التالية أيضاً:

$$(74) \quad d_i = (i-1)d_{ii} \quad \text{km}$$

بالنسبة إلى  $i = 1, \dots, n$ ، حيث  $d_{ii}$  هي الزيادة التدرجية في مسافة المسير (km).

## 4 تصنيف المسيرات

يجب أن يستعمل المظهر الجانبي (LoS) للمسير لتصنيف المسير فيما لو كان في خط البصر أو عبر الأفق استناداً إلى نصف قطر الأرض الفعال،  $a_e$ ، الذي يمكن الحصول عليه بالمعادلة (7a).

ويكون المسير عبر الأفق إذا كانت زاوية ارتفاع الأفق المادي من ناحية الهوائي المرسل (بالنسبة إلى خط الأفق المحلي) أكبر من الزاوية المرئية من جهة الهوائي المستقبل (أيضاً بالنسبة إلى خط الأفق المحلي لمرسل).

ويكون الاختبار الخاص بشروط المسير عبر الأفق على النحو التالي:

$$(75) \quad \theta_{max} > \theta_{td} \quad \text{mrad}$$

حيث:

$$(76) \quad \theta_{max} = \max_{i=2}^{n-1} (\theta_i) \quad \text{mrad}$$

$\theta_i$ : زاوية الارتفاع بالنسبة إلى النقطة  $i$  في التضاريس الأرضية

$$(77) \quad \theta_i = 1000 \arctan \left( \frac{h_i - h_{ts}}{10^3 d_i} - \frac{d_i}{2 a_e} \right) \quad \text{mrad}$$

حيث:

$h_i$ : ارتفاع النقطة  $i$  في التضاريس الأرضية (m) فوق مستوى البحر

$h_{ts}$ : ارتفاع الهوائي المرسل (m) فوق مستوى البحر

$d_i$ : المسافة بين المرسل والنقطة  $i$  في التضاريس الأرضية (km)

$$(78) \quad \theta_{td} = 1000 \arctan \left( \frac{h_{rs} - h_{ts}}{10^3 d} - \frac{d}{2 a_e} \right) \quad \text{mrad}$$

حيث:

$h_{rs}$ : ارتفاع الهوائي المستقبل (m) فوق مستوى البحر

$d$ : المسافة الكلية لمسير الدائرة العظمى (km)

$a_e$ : متوسط نصف قطر الأرض الفعال المناسب للمسير (المعادلة (7a)).

## اشتقاق المعلمات من المظهر الجانبي لمسير

5

يعرض الجدول 8 المعلمات الواجب اشتقاقها من المظهر الجانبي لمسير.

### 1.5 زاوية ارتفاع الأفق فوق الأفق المحلي لهوائي الإرسال، $\theta_t$

تعطى زاوية ارتفاع الأفق لهوائي الإرسال بالنسبة إلى الأفق المحلي كما يلي:

$$(79) \quad \theta_t = \max (\theta_{max}, \theta_{td}) \quad \text{mrad}$$

وتكون  $\theta_{max}$  كما هي محددة في المعادلة (76). ومن ثم، في مسیر على خط البصر، تُعتبر زاوية ارتفاع الأفق للهوائي المرسل هي زاوية ارتفاع الخط الواصل إلى هوائي الاستقبال.

### 2.5 مسافة أفق الهوائي المرسل، $d_{lt}$

مسافة الأفق هي أدنى مسافة من المرسل المحسوب عندها أقصى زاوية لارتفاع أفق الهوائي من المعادلة (76).

$$(80) \quad d_{lt} = d_i \quad \text{km} \quad \text{for } \max (\theta_i)$$

وفي مسیر على خط البصر، ينبغي أن يكون المؤشر  $i$  هو القيمة التي تعطي معلمة الانعراج  $v$  القصوى.

$$(80a) \quad v_{max} = \max \left\{ \left[ h_i + 500 C_e d_i (d - d_i) - \frac{h_{ts} (d - d_i) + h_{rs} d_i}{d} \right] \sqrt{\frac{0,002 d}{\lambda d_i (d - d_i)}} \right\}$$

حيث يأخذ دليل المظهر الجانبي  $n$  قيماً تتراوح من 2 إلى 1.3.4.1. و  $C_{eg}$  هو الانحناء الفعلي للأرض كما هو معرف في الفقرة 4.1 بالملحق 1.

### 3.5 زاوية ارتفاع أفق الهوائي فوق الأفق الخلوي المستقبل، $\theta_r$

في مسیر على خط البصر، تعطى الزاوية  $\theta_r$  كما يلي:

$$(81) \quad \theta_r = 1000 \arctan \left( \frac{h_{ts} - h_{rs}}{10^3 d} - \frac{d}{2a_e} \right) \quad \text{mrad}$$

وإلا تعطى الزاوية  $\theta_r$  كما يلي:

$$(82) \quad \theta_r = \max_{j=2}^{n-1} (\theta_j) \quad \text{mrad}$$

$$(82a) \quad \theta_j = 1000 \arctan \left[ \frac{h_j - h_{rs}}{10^3 (d - d_j)} - \frac{d - d_j}{2 a_e} \right] \quad \text{mrad}$$

### 4.5 مسافة أفق الهوائي المستقبل، $d_{lr}$

مسافة الأفق هي أدنى مسافة من المستقبل تحسب عندها أقصى زاوية لارتفاع أفق الهوائي من المعادلة (82).

$$(83) \quad d_{lr} = d - d_j \quad \text{km} \quad \text{for } \max (\theta_j)$$

وفي مسیر على خط البصر، تعطى الزاوية  $d_{lr}$  كما يلي:

$$(83a) \quad d_{lr} = d - d_{lt} \quad \text{km}$$

### 5.5 المسافة الراوية $\theta$ (mrad)

$$(84) \quad \theta = \frac{10^3 d}{a_e} + \theta_t + \theta_r \quad \text{mrad}$$

### 6.5 نموذج "الأرض الممهدة" وارتفاعات الهوائي الفعالة

"السطح الأملس" هو سطح مستخلص من المظهر الجانبي لحساب ارتفاعات الهوائي الفعالة لنموذج الانتعاج وكذلك لإجراء تقييم لوعرة المسیر، وهو أمران يتطلبهما نموذج الانتشار بالمحرى/الانعكاس عن طبقة وتحتلو مختلف تعريف ارتفاع الهوائي الفعال في هذين الغرضين.

حيث يكيف القسم 6.5.1 سطح أملس للأرض مع المظهر الجانبي الذي يحصل منه على ارتفاعي هذين السطحين عند المطرافين،  $h_{sr}$  و  $h_{st}$ .

وفي الفقرة 2.6.5، يستخدم الارتفاعان  $h_{st}$  و  $h_{sr}$  لحساب ارتفاعي السطح الأملس للأرض المعدلتين عند المطرافين  $h_{std}$  و  $h_{srd}$  اللذين يستخدمان في الفقرة 4.3.4 من الملحق 1 لحساب الارتفاعات الفعلية للهوائيات لنموذج الانتعاج. وطبقاً للمظهر الجانبي، قد تختلف قيمة  $h_{std}$  و  $h_{srd}$  عن قيمة  $h_{sr}$  و  $h_{st}$  على التوالي.

وفي الفقرة 3.6.5، تستعمل قيمة الارتفاعين  $h_{st}$  و  $h_{sr}$  لحساب الارتفاعين الفعليين للهوائي  $h_{te}$  و  $h_{re}$  ومعلمته حشونة الأرض  $h_m$  اللازمة لنموذج انعكاس المحرى/الطبقة في الفقرة 5.4 من الملحق 1.

## 1.6.5 اشتقاق سطح الأرض الأملس

يشتق تقريب خطى مستقيم لارتفاع التضاريس الأرضية فوق مستوى البحر بالأمتار على الشكل التالي:

$$(85) \quad v_1 = \sum_{i=2}^n (d_i - d_{i-1})(h_i + h_{i-1})$$

$$(86) \quad v_2 = \sum_{i=2}^n (d_i - d_{i-1})[h_i(2d_i + d_{i-1}) + h_{i-1}(d_i + 2d_{i-1})]$$

$$(87) \quad h_{st} = \left( \frac{2v_1 d - v_2}{d^2} \right) \quad \text{m}$$

$$(88) \quad h_{sr} = \left( \frac{v_2 - v_1 d}{d^2} \right) \quad \text{m}$$

حيث:

$h_{st}$ : الارتفاع فوق مستوى البحر (m) لسطح الأرض الأملس عند بداية المسير أي عند المرسل

$h_{sr}$ : الارتفاع فوق مستوى سطح البحر (m) للسطح الأملس للأرض عند نهاية المسير، أي عند المستقبل

## 2.6.5 ارتفاعات السطح الأملس للأرض لنموذج الانعراج

يمدد أعلى ارتفاع لعائق فوق مسیر خط مستقيم من المرسل إلى المستقبل،  $h_{obs}$ ، وزاويتی الارتفاع عن الأفق  $\alpha_{obt}$  و  $\alpha_{obr}$  وكل ذلك على أساس هندسة الأرض المستوية، وفقاً لما يلي:

$$(89a) \quad h_{obs} = \max(H_i) \quad \text{m}$$

$$(89b) \quad \alpha_{obt} = \max\left(\frac{H_i}{d_i}\right) \quad \text{mrad}$$

$$(89c) \quad \alpha_{obr} = \max\left[\frac{H_i}{(d - d_i)}\right] \quad \text{mrad}$$

حيث:

$$(89d) \quad H_i = h_i - \frac{[h_{rc}(d - d_i) + h_{rc}d_i]}{d} \quad \text{m}$$

ويتخد مؤشر المظهر الجانبي  $n$  قيماً تتراوح بين 2 و  $(n-1)$ .

وتحسب القيم المؤقتة لارتفاعات السطح الأملس في طرف الإرسال والاستقبال للمسير:

إذا كان  $h_{obs}$  أقل من الصفر أو يساويه، عندئذ:

$$(90a) \quad h_{stp} = h_{st} \quad \text{m amsl}$$

$$(90b) \quad h_{srp} = h_{sr} \quad \text{m amsl}$$

وإلا:

$$(90c) \quad h_{stp} = h_{st} - h_{obs}g_t \quad \text{m amsl}$$

$$(90d) \quad h_{srp} = h_{sr} - h_{obs}g_r \quad \text{m amsl}$$

حيث:

$$(90e) \quad g_t = \frac{\alpha_{obt}}{(\alpha_{obt} + \alpha_{obr})}$$

$$(90f) \quad g_r = \frac{\alpha_{obr}}{(\alpha_{obt} + \alpha_{obr})}$$

وتحسب القيم النهائية لارتفاع السطح الأملس في طرق الإرسال والاستقبال للمسير كما يتطلب نموذج الانتعاج:

فإذا كان  $h_{stp}$  أكبر من  $h_1$ ، عندئذ:

$$(91a) \quad h_{std} = h_1 \quad \text{m amsl}$$

وإلا:

$$(91b) \quad h_{std} = h_{stp} \quad \text{m amsl}$$

وإذا كان  $h_{srp}$  أكبر من  $h_n$ ، عندئذ:

$$(91c) \quad h_{srd} = h_n \quad \text{m amsl}$$

وإلا:

$$(91d) \quad h_{srd} = h_{srp} \quad \text{m amsl}$$

### 3.6.5 معلمات نموذج الانتشار التروبوسفيري الموجه/الانعكاس عن طبقة

يُحسب ارتفاعاً الأرض المنساء عند المرسل والمستقبل على النحو المطلوب من أجل عامل الوعورة كما يلي:

$$(92a) \quad h_{st} = \min (h_{st}, h_1) \quad \text{m}$$

$$(92b) \quad h_{sr} = \min (h_{sr}, h_n) \quad \text{m}$$

ينبغي حساب ميل سطح الأرض الأملس  $m$  كالتالي:

$$(93) \quad m = \frac{h_{sr} - h_{st}}{d} \quad \text{m/km}$$

ويتم الحصول على الارتفاعين الفعاليين للمطرافين في نموذج الانتشار التروبوسفيري الموجه/الانعكاس عن طبقة،  $h_{te}$  و  $h_{re}$  بالمعادلين:

$$(94a) \quad h_{te} = h_{tg} + h_1 - h_{st} \text{ m}$$

$$(94b) \quad h_{re} = h_{rg} + h_n - h_{sr} \text{ m}$$

معلمة وعورة التضاريس الأرضية  $h_m$  (m) هي أقصى ارتفاع للتضاريس الأرضية فوق سطح الأرض الأملس في قسم المسير الواقع بين نقطتي الأفق، حصرًا:

$$(95) \quad h_m = \max_{i=1}^{i_{lr}} [h_i - (h_{st} + md_i)] \quad \text{m}$$

حيث:

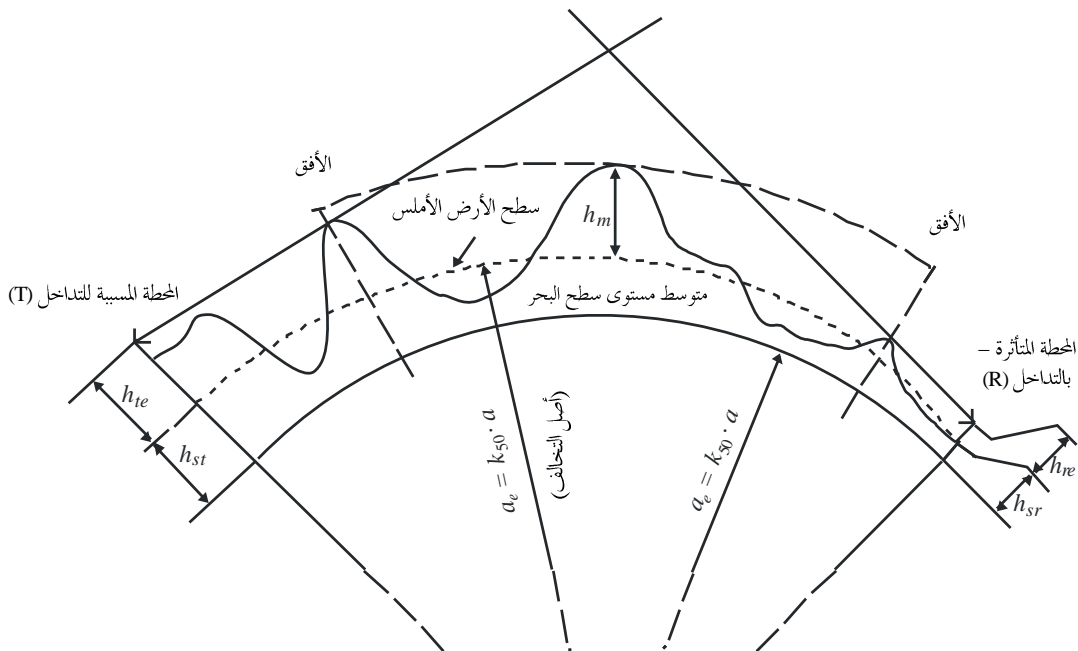
$h_t$ : دليل نقطة المظهر الجانبي عند مسافة  $d_{lt}$  من المرسل

$h_r$ : دليل نقطة المظهر الجانبي عند مسافة  $d_{lr}$  من المستقبل.

ويمثل الشكل 2 سطح الأرض الأملس ومعلمة وعورة التضاريس الأرضية  $h_m$ .

الشكل 2

### مثال لسطح الأرض الأملس ومعلمة وعورة التضاريس الأرضية



P.1812-02

## المرفق 2 للملحق 1

### تقريب لدالة التوزيع العادي التراكمي التكميلي العكسي

يكون التقريب التالي لدالة التوزيع العادي التراكمي التكميلي العكسي صحيحاً للقيمة  $0,999999 \leq x \leq 0,000001$  و يكون أقصى مقدار للخطأ 0,000054. فإن كانت  $(x < 0,000001)$ ، مما يعني ضمناً  $(\beta_0 < 0,0001\%)$ ، فينبغي ضبط  $x$  بقيمة 0,000001. وتسرى اعتبارات مشابهة بالنسبة إلى  $(0,999999 > x)$ . ويمكن الوثوق في استخدام هذا التقريب لحساب دالة الاستكمال الداخلي في المعادلات (30b) و(49) و(61). ييد أنه في المعادلة الأخيرة، يجب أن تتحصر قيمة  $x$  داخل المتباعدة:  $0,01 \leq x \leq 0,99$ .

ويتم الحصول على الدالة  $I(x)$  كالتالي:

$$(96a) \quad I(x) = T(x) - \xi(x) \quad \text{for } 0,000001 \leq x \leq 0,5$$

وبالتناظر:

$$(96b) \quad I(x) = \xi(1-x) - T(1-x) \quad \text{for } 0,5 < x \leq 0,999999$$

حيث:

$$(97a) \quad T(x) = \sqrt{[-2 \ln(x)]}$$

$$(97b) \quad \xi(x) = \frac{[(C_2 T(x) + C_1) T(x)] + C_0}{[(D_3 T(x) + D_2) T(x) + D_1] T(x) + 1}$$

$$(97c) \quad C_0 = 2,515516698$$

$$(97d) \quad C_1 = 0,802853$$

$$(97e) \quad C_2 = 0,010328$$

$$(97f) \quad D_1 = 1,432788$$

$$(97g) \quad D_2 = 0,189269$$

$$(97h) \quad D_3 = 0,001308$$

### المرفق 3

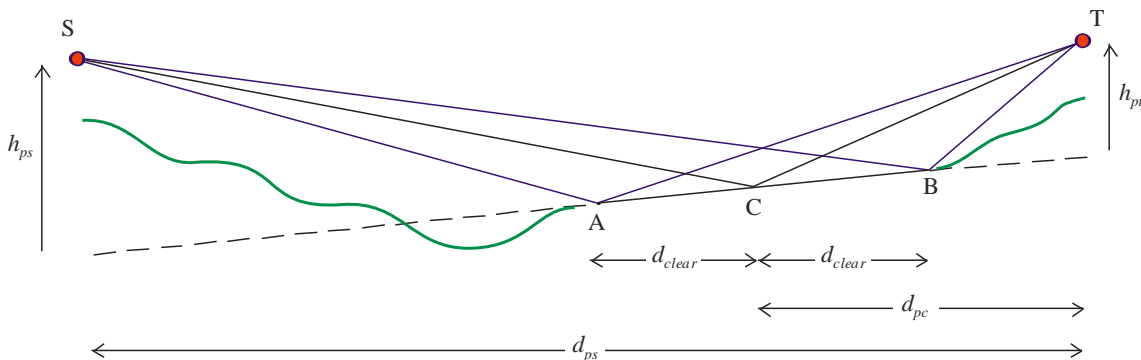
#### للملحق 1

## معايير الانعكاس عن الأرض وحساب ذروة الانعكاس الأول

يعطي هذا المرفق معايير لتحديد الحالات التي يقع فيها انعكاس شعاعين عن الأرض. وتتطلب معلومات المسير اللازمة عادة تفقد مفصل لمحيط المطراف، أو استخدام بيانات طبوغرافية عالية الاستبانة بدقة أقرب من متر واحد إلى الواقع. فإذا استوفيت هذه المعايير، يمكن حساب ارتفاع ذروة أول شعاعين. لأن ذلك يمثل نقطة محددة في التوزيع المتعدد المسيرات على مستوى الإشارة. وينبغي ألا تستخدم هذه الطريقة في حساب تغير الخسارة حسب الموقع الذي يرد وصفه في الفقرة 8.4 من هذه التوصية. ومن غير المناسب استخدام هذه الطريقة في حسابات النقطة إلى منطقة.

الشكل 3

المهندسة المطلوبة للانعكاسات عن الأرض



P.1812-03

ويوضح الشكل 3 الهندسة اللازمة للانعكاس عن الأرض. فالنقطة 'T' إلى اليمين هي المطراف قيد النظر. والنقطة 'S' هي نقطة مصدر الانعكاس التي ستكون المطراف الآخر في مسیر على خط البصر، أو الأفق الراديوي للنقطة T في مسیر عبر الأفق.

ويشار إلى المظہر الجانبي النظري بواسطة الخط الأخضر المترعرع. ويجب تحديد شطر من المظہر الجانبي بين النقطتين A و B على أنه مستوٌ وأملس، ويجب أن يكون هناك خط بصر بخلوص فرینل كامل للخطوط S-B و S-A و A-T و B-T.

وتستخدم وحدات متسقة ذاتياً في جميع فقرات هذا المرفق.

والنقطة C هي نقطة الانعكاس المرآوي في مركز الخط A-B وتبعد مسافة  $d_{cp}$  عن المطراف، وتعطي كما يلي:

$$(98) \quad d_{pc} = \frac{d_{ps}h_{ps}}{(h_{ps} + h_{pt})}$$

حيث  $h_{ps}$  و  $h_{pt}$  هما ارتفاعاً S و T على التوالي فوق خط A-B الممدد.

ويعطي نصف قطر خلوص فرینل المطلوب  $r_{clear}$  في النقطة C كما يلي:

$$(99) \quad r_{clear} = 0,6 \sqrt{\frac{\lambda d_{pc}(d_{ps} - d_{pc})}{d_{ps}}}$$

حيث  $\lambda$  هو طول الموجة.

ويجب أن يكون السطح العاكس مستوياً وأملساً، وأن يقع على خط البصر إلى S وT كليهما لمساحة تصل إلى  $r_{clear}$  على جانبي المسير (أي إلى اليسار وإلى اليمين) من T إلى المطراف الآخر.

وتحسب مسافة الخلوص المطلوبة  $d_{clear}$  تقريباً على جانبي النقطة C وعلى امتداد المسير الراديوي، كما يلي:

$$(100) \quad d_{clear} \approx \frac{r_{clear} d_{pc}}{h_{pt}}$$

ويعطى معيار الاستواء واللاملاسة لسطح عاكس كما يلي:

$$(101) \quad \Delta \approx \frac{\lambda d_{pc}}{10 h_{pt}}$$

حيث  $\Delta$  هو المنطلق المسموح به لسطح انعكاس من مستوى. وينبغي أن يفسر ذلك على نطاق ضيق من حيث الوعورة، وعلى نطاق المنطقة كلها من حيث الاستواء.

إذا استوفيت المعايير المذكورة أعلاه، يمكن حساب قيمة  $R$  في المعادلة (64b) كما يلي:

$$(102) \quad R = \frac{\lambda d_{ps}}{4 h_{pt}}$$

وإذا ما استُخدمت قيمة  $R$ ، المحسوبة باستخدام المعادلة (102)، في المعادلة (64b)، فإن تناقص ارتفاع المطراف تحت الارتفاع  $R$  يفضي إلى تزايد جودة التقرير إلى نموذج الأرض المستوية ذي الشعاعين في انعكاس الورود التماسي. وبتناقص ارتفاع المطراف، يتعين توسيع السطح العاكس الأملس المبين في الشكل 3 باتجاه المطراف، وهو ما يكفي تحرك النقطة B في الشكل إلى اليمين.

ويمكن أيضاً حساب تصحيح كسب الارتفاع باستخدام الجمع الصريح لشعاعين الذي يعطي ما يلي:

$$(103) \quad A_h = 20 \log \left[ 1 + \rho \exp \left( -j \frac{2\pi\delta}{\lambda} \right) \right]$$

حيث:

$\rho$ : معامل انعكاس معقد يمكن تقديره، في الورود التماسي، كرقم صرف تبلغ قيمته التقريرية -0,95

$\delta$ : الفارق في طول المسير المعطى كما يلي:

$$(104) \quad \delta = \frac{2 h_{ps} h_{pt}}{d_{ps}}$$

وإذا استُخدمت المعادلة (103) ستبلغ قيمة  $A_h$  6 dB عند  $R = h_{pt}$ . وسيحدث انقطاع مع المعادلة (64b) في هذه النقطة. حيث إن خفض الارتفاع من معادلة  $R$  سيزيد التقرير إلى المعادلة (64b). فإذا ما استُخدمت المعادلة (103) على ارتفاع تحت  $R$ ، ينبغي التنبه إلى التحذير أعلاه بشأن مدى اتساع السطح العاكس. وإذا ما استُخدمت المعادلة (103) على ارتفاع فوق  $R$  لا بد من أن يكون السطح العاكس على مسافة مقدمة أبعد عن المطراف، وينبغي أيضاً أن يؤخذ في الاعتبار احتمال تزايد مسافة المصدر  $d_s$ ، أي أن موضع S في الشكل 3 قد يتغير. ويمكن تحنب هذا الإشكال الأخير إذا استُخدمت طريقة الانعكاس في مسیر على خط البصر (LoS) فقط.